arXiv:0904.2437v1 [math.GT] 16 Apr 2009

LES NŒUDS DE LORENZ

PIERRE DEHORNOY

Résumé. Cet article est un exposé de synthèse sur les nœuds de Lorenz. Nous décrivons la construction initiale, démontrons de façon précise un certain nombre de propriétés classiques, en particulier le fait que la clôture d'une tresse positive est un nœud fibré, et explicitons la correspondance de Ghys entre nœuds modulaires et nœuds de Lorenz. Par ailleurs, nous montrons deux propriétés nouvelles, à savoir que, suivant la correspondance de Ghys, les images des orbites triviales forment un sous-groupe du groupe des classes, et, d'autre part, que l'image réciproque d'un élément du groupe des classes et de son inverse sont des orbites isotopes.

Les nœuds de Lorenz sont les nœuds qui peuvent être réalisés comme orbites périodiques du flot géométrique de Lorenz. Tous les nœuds ne sont pas des nœuds de Lorenz : par exemple, le nœud trivial et le nœud de trèfle en sont, mais pas le nœud de huit ; plus généralement, on ne compte que vingt nœuds de Lorenz parmi les nœuds ayant au plus seize croisements. Pourtant, la famille des nœuds de Lorenz est vaste, puisque tous les nœuds toriques et tous les nœuds algébriques sont des nœuds de Lorenz. Introduits par J. Birman et R. Williams en 1983, ces nœuds ont fait l'objet de travaux assez nombreux, car ils possèdent de riches propriétés et de multiples facettes. On sait depuis les travaux de R. Ghrist que tout nœud peut être réalisé comme orbite périodique d'un flot de $\mathbb{R}^3$, mais ce résultat ne fournit en général aucun contrôle des nœuds ainsi engendrés. À l'opposé, la combinatoire spécifique du flot de Lorenz, qui s'exprime par des liens avec les mots de Lyndon et les diagrammes de Young, donne accès pour les nœuds de Lorenz à des paramètres topologiques comme le genre ou l'indice de tresse qui sont difficiles à calculer dans le cas général. De la sorte, la famille des nœuds de Lorenz apparaît comme une étape naturelle dans une étude des nœuds partant des plus simples et allant progressivement vers davantage de complexité : plus riche que celle des nœuds toriques ou celle des nœuds algébriques, la famille de nœuds de Lorenz est néanmoins assez petite pour qu'une description effective des propriétés de ses éléments soit possible. Récemment, l'intérêt porté à ces nœuds a été renforcé par la découverte par É. Ghys d'une correspondance naturelle entre les nœuds de Lorenz et les nœuds dits modulaires, qui apparaissent comme orbites périodiques du flot géodésique sur la surface modulaire, un certain orbifold lié à l'arithmétique des corps quadratiques et à la géométrie hyperbolique.

Ce que nous faisons dans ce texte, c'est principalement de passer en revue les propriétés des nœuds de Lorenz connues à ce jour. La plupart des démonstrations sont seulement esquissées, à l'exception de quelques-unes qui, dans la littérature, apparaissent de façon schématique ou dans un contexte différent, et que nous présentons ici de façon détaillée. Par ailleurs, nous établissons deux résultats nouveaux dans la lignée de la correspondance de Ghys, à savoir, d'une part, que, pour tout ordre d'un anneau d'entiers quadratiques, les classes d'idéaux dont l'image par la correspondance de Ghys est un nœud trivial forment un sous-groupe du groupe des classes de la forme $(\mathbb{Z}/2\mathbb{Z})^d$ dont la multiplication peut être décrite de façon explicite, et, d'autre part, que deux éléments inverses

Date: 15 avril 2009.

Je remercie vivement Étienne Ghys pour ses conversations et ses exposés passionnants. Je remercie également Hugh Morton pour avoir répondu à plusieurs de mes questions, et partagé une partie de son expérience sur les nœuds de Lorenz.

l'un de l'autre dans le groupe des classes ont pour image le même nœud par la correspondance de Ghys.

Le plan de l'article est le suivant. Dans une première partie, on effectue un bref rappel historique sur l'origine des nœuds de Lorenz. Puis on introduit les nœuds de Lorenz à partir du patron de Lorenz, qui est une surface branchée de $\mathbb{R}^3$ liée à la dynamique d'un certain système différentiel chaotique. On en déduit un codage des nœuds de Lorenz à l'aide des mots de Lyndon, qui sont des mots particuliers sur un alphabet à deux lettres. Ce codage permet d'énumérer systématiquement tous les nœuds de Lorenz, et il est à la base de toute l'étude ultérieure. Notre exposition ici est basée sur l'article original de J. Birman et R. Williams [4], à l'exception des sections 1.5 et 1.6 où nous développons une variante moins redondante du codage initial à l'aide de diagrammes de Young.

La deuxième partie est consacrée à l'étendue de la famille des nœuds de Lorenz et à leurs principales propriétés topologiques. On montre que tout nœud de Lorenz est premier. On y explique que tous les nœuds toriques et tous les nœuds algébriques sont des nœuds de Lorenz, le cas des nœuds algébriques se déduisant d'une étude plus générale des nœuds de Lorenz qui sont des nœuds satellites. On montre ensuite que tout nœud de Lorenz s'exprime comme clôture d'une tresse de permutation, et, surtout, est un nœud fibré. Les résultats de cette partie apparaissent principalement dans les articles [4], [13], et [37]. Pour ce qui est du caractère fibré, il est déduit dans [4] de résultats généraux de Stallings [32]. Il peut également être déduit de travaux de K. Murasugi [27] et D. Gabai [15, 16] sur les fibrations. Dans le cas de nœuds qui sont clôtures de tresses positives, l'argument est spécialement simple et visuel. Comme il semble n'avoir jamais été rédigé, tout au moins de façon concise, nous le détaillons ici.

Dans la troisième partie, nous poursuivons l'étude topologique des nœuds de Lorenz. On introduit la famille des tresses de Birman-Williams, qui fournit une nouvelle façon d'exprimer un nœud de Lorenz comme clôture d'une tresse positive, et on en déduit une détermination explicite de l'indice de tresse d'un nœud de Lorenz comme nombre de brins d'une tresse de Birman–Williams associée. Le résultat original est dû à J. Franks, H. Morton et R. Williams [14]. Nous proposons ici une version complète de la démonstration basée sur l'introduction d'une variante du polynôme HOMFLY.

La quatrième partie est consacrée à la correspondance de Ghys entre les nœuds de Lorenz et les orbites périodiques du flot géodésique sur la surface modulaire, lesquelles sont intimement liées à des objets très usuels de la théorie des nombres depuis Gauss, à savoir les classes de conjugaison de matrices dans $\mathrm{SL}_2(\mathbb{Z})$, les classes de formes quadratiques à coefficients entiers, et les classes d'idéaux dans des corps quadratiques. Pour expliquer ce lien entre topologie et arithmétique, nous partons de la correspondance naturelle entre les classes d'idéaux dans certains corps quadratiques et les classes de conjugaison dans $\mathrm{SL}_2(\mathbb{Z})$, qu'on peut caractériser en termes de mots de Lyndon. On en déduit le lien entre les nœuds modulaires et les nœuds de Lorenz qui constitue la correspondance de Ghys. Notre exposition dans cette partie est basée sur [7] et [19]. Par ailleurs, c'est là que nous établissons les deux résultats nouveaux mentionnés plus haut concernant les orbites représentant l'élément neutre du groupe des classes (proposition 4.18) et les orbites représentant des éléments inverses l'un de l'autre (proposition 4.19).

Enfin, dans une brève cinquième partie, nous mentionnons quelques questions ouvertes mettant en jeu les nœuds de Lorenz. L'une des plus fascinantes concerne la possibilité de définir directement sur les nœuds de Lorenz une multiplication qui serait la contrepartie de celle des classes d'idéaux d'un ordre d'un corps quadratique.

1. Description combinatoire des nœuds de Lorenz

Cette première partie introduit les nœuds de Lorenz et leur codage par des mots de Lyndon et des diagrammes de Young. Dans la section 1.1, nous rappelons le contexte du système différentiel chaotique de Lorenz, puis, dans la section 1.2, nous introduisons le patron de Lorenz qui permet de modéliser géométriquement le comportement des solutions du système de Lorenz. La section 1.3 est consacrée au codage des orbites périodiques du flot de Lorenz, donc des nœuds de Lorenz, à l'aide de mots de Lyndon. Dans la section 1.4, nous montrons que tout nœud de Lorenz est clôture d'une tresse de permutation. Dans la section 1.5, nous montrons comment réduire la redondance du codage en introduisant les mots de Lyndon dits minimaux, puis, dans la section 1.6, nous passons au langage des diagrammes de Young.

1.1. **Le système de Lorenz, Guckenheimer et Williams.** En 1963, le météorologiste E. N. Lorenz a exhibé un système dynamique aux propriétés remarquables [25]. Issu d'un modèle simplifié de convection atmosphérique, il est décrit par les équations différentielles

$$\dot{x} = -10x + 10y, \quad \dot{y} = rx - y - xz, \quad \dot{z} = -8/3z + xy, \tag{1.1}$$

où r est un paramètre réel proche de 28. Ce système induit un flot déterministe sur $\mathbb{R}^3$: le passé et le futur d'un point de $\mathbb{R}^3$ sont déterminés par sa seule position. Par contre, (1.1) est un système chaotique, au sens où une petite perturbation du point de départ change l'allure globale de l'orbite qui en est issue. Bien avant Lorenz, l'existence de systèmes chaotiques avait été observée par H. Poincaré dans le cadre du problème des trois corps et par J. Hadamard pour le flot géodésique sur des surfaces à courbure négative [23]. Pourtant, l'exemple de Lorenz, peut-être à cause de son origine météorologique, ou peut-être à cause de la simplicité des équations qui le décrivent, a suscité un grand engouement, se trouvant même à l'origine du populaire « effet papillon ».

Quand on effectue des simulations numériques des équations de Lorenz (1.1), on observe le phénomène suivant : l'orbite issue de presque tout point semble plonger très vite vers une surface branchée, puis, une fois au voisinage de celle-ci, l'orbite décrit une suite de tours autour de deux points selles, dans un ordre apparemment aléatoire (figure 1.1). Ayant observé ce phénomème, J. Guckenheimer a suggéré un modèle géométrique simple pour décrire les orbites de ce système [21], à savoir une surface de $\mathbb{R}^3$ munie d'un semi-flot imitant la dynamique observée numériquement et le long de laquelle s'enroulent les orbites. Ce modèle de Guckenheimer a ensuite été étudié et enrichi dans des travaux communs avec R. Williams [22, 36], où il est notamment établi que le modèle est *persistant*, c'est-à-dire qu'une perturbation de classe C^0 du champ de vecteurs mène à un système du même type que celui de Lorenz. La corrélation entre les modèles de Lorenz et de Guckenheimer, et en particulier le fait que les orbites de Lorenz s'accumulent effectivement le long du patron étudié par Guckenheimer et Williams n'a été prouvée qu'en 1999 par W. Tucker [34, 35].

Le flot géométrique de Guckenheimer et Williams contient une infinité dénombrable d'orbites périodiques. Au début des années 1980, J. Birman et R. Williams ont initié l'étude de ces dernières du point de vue de la théorie des nœuds. Cette approche suit l'idée, attribuée à Poincaré, d'étudier un système dynamique *via* ses orbites périodiques. De ce point de vue, il est trop tôt pour décider si cette tâche a été réalisée. Par contre, nous allons voir que les nœuds de Lorenz sont une famille riche du point de vue de la théorie des nœuds.

1.2. **Le patron de Lorenz.** Dans la suite de cet article, nous délaissons les systèmes différentiels et repartons du modèle géométrique suggéré par Lorenz, Guckenheimer et Williams. On rappelle qu'étant donné un champ de vecteurs X sur une surface S, on appelle *flot* de X l'application Φ de $\mathbb{R} \times S$ dans S dont la dérivée en $t = 0$ coïncide avec X et qui, pour tout point P de S, vérifie

$$\Phi(t_1 + t_2, P) = \Phi(t_1, \Phi(t_2, P)),$$

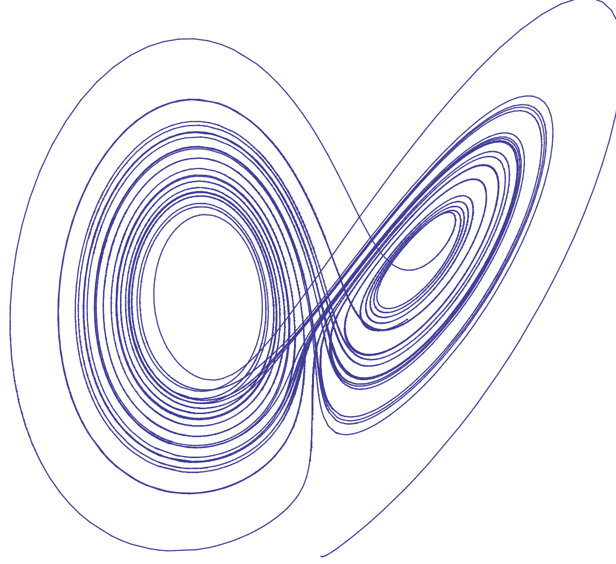


FIG. 1.1. Une simulation numérique des équations de Lorenz (1.1). Partant d'un point quelconque, le flot s'accumule sur une surface et tourne autour de deux points selles.

c'est-à-dire que $\Phi(t, P)$ décrit l'orbite partant de P le long du champ X, lorsqu'une telle application existe. Un *semi-flot* est une application semblable, mais définie seulement sur $\mathbb{R}_+ \times S$.

Définition 1.1. (Voir figure 1.2.) (*i*) Le *patron de Lorenz* est la surface branchée de $\mathbb{R}^3$ obtenue comme suit. On part de quatre bandes rectangulaires ouvertes $B_1, \ldots, B_4$, munies chacune d'un champ de vecteurs parallèle à deux côtés opposés. Ces bandes sont déformées et recollées le long de trois axes A, A_1 et A_2 comme montré sur la figure. La surface branchée obtenue est munie du champ de vecteurs obtenu en recollant les champs des quatre bandes.

(*ii*) On appelle *semi-flot de Lorenz* le semi-flot engendré par le champ de vecteurs du patron de Lorenz. L'axe A est identifié au segment $]0, 1[$ de sorte que l'abscisse du point M où la surface se sépare soit $1/2$, et que l'application de premier retour sur l'axe A en suivant le flot, qu'on note pr, soit identifiée à la fonction $t \mapsto 2t \mod 1$.

Par construction, le patron de Lorenz est une surface ouverte, branchée le long de l'axe A. Le semi-flot de Lorenz est défini en tout point, sauf au point M où la surface se sépare. En suivant le semi-flot à partir d'un point P de l'axe A différent de M, on recoupe A après un temps fini. Par contre, le passé n'est pas défini : le long de A, chaque point a deux préorbites, on a donc bien affaire à un semi-flot. Néanmoins, par habitude autant que par commodité, nous utilisons ici l'appellation *flot*.

Dans la suite, on s'intéresse aux orbites du flot de Lorenz, et particulièrement aux orbites *périodiques*. Considérons par exemple l'orbite issue du point de l'axe A d'abscisse $1/7$. En suivant le semi-flot, on fait le tour de la boucle gauche du patron, on passe par le point $2/7$, on repasse par la boucle gauche pour arriver au point $4/7$, on suit la boucle droite, et, enfin, on revient au point $1/7$. On a donc une orbite périodique qui coupe trois fois l'axe du patron. Sur la figure 1.2 sont représentées les orbites partant des points d'abscisses $1/7$ et $3/7$. On verra ci-dessous que le flot de Lorenz contient une infinité d'orbites périodiques. On appelle *période* d'une telle orbite le

nombre d'intersections de celle-ci avec l'axe du patron. Ce qui nous intéresse ici est le fait que de telles orbites périodiques peuvent former des nœuds non triviaux.

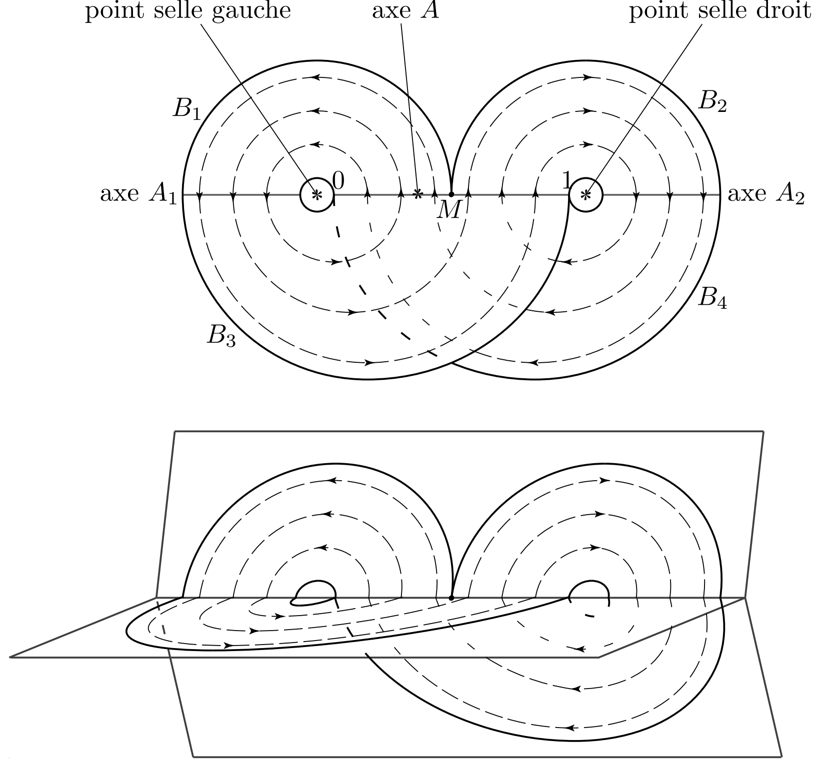


FIG. 1.2. Le patron de Lorenz. Le dessin du haut représente le patron projeté sur un plan horizontal. Les segments A, A_1 et A_2 sont les axes de recollement des bandes $B_1, \ldots, B_4$, le segment A étant l'axe de branchement du patron. Le flot de Lorenz est figuré en pointillés. L'abscisse du point M est $1/2$, la surface s'y sépare et le flot n'y est pas défini. Le dessin du bas montre le patron sous la forme d'un livre à trois pages.

Définition 1.2. Un nœud K est appelé *nœud de Lorenz* s'il existe une orbite périodique γ du flot de Lorenz sur le patron de Lorenz représentant K, c'est-à-dire dont K est la classe d'isotopie.

Remarque 1.3. La classe d'isotopie d'une orbite périodique du flot de Lorenz dépend du plongement du patron dans $\mathbb{R}^3$. On obtient une infinité de plongements différents en ajoutant un nombre arbitraire de demi-tours sur chacune des deux branches du patron. Plus précisément, on associe à chaque couple d'entiers relatifs (p, q) un patron $P(p, q)$ obtenu à partir du patron de Lorenz en rajoutant p demi-tours sur la branche gauche, et q demi-tours sur la branche droite, comme sur la figure 1.3. Les nœuds associés à des orbites périodiques du flot défini sur ces attracteurs de Lorenz généralisés dépendent fortement des entiers p et q. Il se trouve que $P(0, 1)$ correspond à une suspension du fer à cheval de Smale. Dans cet article, et plus généralement quand on parle de nœuds de Lorenz, on ne s'intéresse qu'au plongement $P(0, 0)$ du patron de Lorenz montré sur la figure 1.2. Sinon, on parle de nœuds de Lorenz *généralisés*, voir [18] pour une étude de ces patrons et de leurs orbites périodiques.

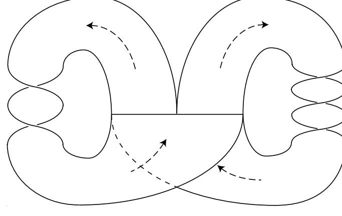


FIG. 1.3. Un patron de Lorenz généralisé. Les bandes faisant le tour des attracteurs gauche et droit font respectivement m et n demi-tours (ici $m = -2$ et $n = 3$).

1.3. **Codage des orbites.** On cherche maintenant à décrire l'ensemble des orbites périodiques du flot de Lorenz. Pour cela, on associe à toute orbite du flot de Lorenz un mot sur un alphabet à deux lettres. Restreinte aux orbites périodiques et aux mots dits de Lyndon, la correspondance ainsi définie est bijective.

Définition 1.4. Soit γ une orbite du flot de Lorenz. En suivant γ à partir d'un point P de l'axe A et en notant L chaque fois que γ coupe l'axe A après avoir fait un tour de l'attracteur gauche du patron, et R chaque fois que γ coupe l'axe A après un tour de l'attracteur droit, on associe à γ un mot infini en les lettres L et R, appelé *code* de γ et noté $\mathrm{c}(\gamma, P)$.

Une orbite γ est périodique de période n si et seulement si le code de γ est lui-même *périodique de période* n, au sens où il existe un (unique) mot w de longueur n tel que $\mathrm{c}(\gamma, P)$ est le mot infini $wwww$... On dit alors que w est un *code réduit* de γ *relativement à* P, et on le note $\mathrm{cr}(\gamma, P)$.

Le code d'une orbite γ dépend du choix du point de départ P : par exemple, si on part du point de premier retour $\mathrm{pr}(P)$, le code associé $\mathrm{c}(\gamma, \mathrm{pr}(P))$ est le mot obtenu à partir de $\mathrm{c}(\gamma, P)$ en effaçant la première lettre. On l'appelle le *décalé* de $\mathrm{c}(\gamma, P)$, et on le note $s(\mathrm{c}(\gamma, P))$. Pour associer à chaque orbite périodique du flot de Lorenz un code réduit indépendant du point de départ, on fixe un ordre lexicographique sur les mots en L et R et on choisit comme représentant distingué celui des divers codes réduits de l'orbite, donc celui des divers décalés d'un code réduit $\mathrm{cr}(\gamma, P)$, qui est le plus petit vis-à-vis de cet ordre. Ceci revient à attribuer un rang aux lettres successives d'un code, correspondant à l'ordre selon lequel on rencontre les points d'intersection de l'orbite avec l'axe du patron de Lorenz quand on le parcourt de gauche à droite.

Définition 1.5. Soit w un mot de longueur n sur l'alphabet $\{L, R\}$. Pour $1 \leqslant i, j \leqslant n$, on déclare que i est *avant* j dans l'*ordre de Lyndon* associé à w si $s^{i-1}(w)$ précède $s^{j-1}(w)$ dans l'ordre lexicographique étendant $L < R$. On note alors $i <_w j$.

Par exemple, si w est le mot $LLRLR$, on a $1 <_w 4$ car le mot $s^3(LLRLR)$ est $LRLLR$, qui est plus grand lexicographement que $LLRLR$. On trouverait de même $1 <_w 4 <_w 2 <_w 5 <_w 3$.

Lemme 1.6. *Soit γ une orbite périodique du flot de Lorenz issue d'un point P de l'axe A et de période n. Pour $1 \leqslant i, j \leqslant n$, le point $\mathrm{pr}^{i-1}(P)$ est à gauche du point $\mathrm{pr}^{j-1}(P)$ sur l'axe A si et seulement si on a $i <_{\mathrm{cr}(\gamma,P)} j$.*

Démonstration. Notons w le mot $\mathrm{cr}(\gamma, P)$. Par définition du codage et de l'application pr, la i-ème lettre de w est x si $\mathrm{pr}^{i-1}(P)$ est dans la moitié gauche de l'axe A, et y sinon. Par construction, pr est l'application $t \mapsto 2t \mod 1$, donc la position de $\mathrm{pr}^{i-1}(P)$ dans la moitié gauche ou droite de l'axe A détermine le i-ième chiffre du développement dyadique de l'abscisse de P. Par conséquent, si on remplace les L par des 0 et les R par des 1 dans w, l'abscisse $\mathrm{pr}^{i-1}(P)$ est $\overline{0, w_i w_i w_i \ldots}$, où w_i est $s^{i-1}(w)$. Or l'ordre canonique sur les réels correspond à l'ordre lexicographique étendant $0 < 1$ sur le développement dyadique, donc $\mathrm{pr}^{i-1}(P)$ est à gauche de $\mathrm{pr}^{j-1}(P)$ si et seulement si w_i précède w_j dans l'ordre lexicographique. $\square$

Remarque 1.7. Soit P un point d'intersection de γ avec A et x son abscisse. Alors la condition $\mathrm{pr}^n(P) = P$ se reformule en $2^n x = x \mod 1$, soit $x = p/(2^n - 1)$ pour un certain p entier. Les abscisses des points d'intersection de γ avec A sont alors les rationnels $2^i p/(2^n - 1) \mod 1$. Inversement, on vérifie que l'orbite issue tout point d'abscisse de cette forme est périodique[1].

Définition 1.8. Un mot w de longueur n sur l'alphabet $\{L, R\}$ est dit *de Lyndon* si w n'est pas *décomposable*, c'est-à-dire s'il n'est pas de la forme u^k avec $k \geqslant 2$, et si w précède lexicographiquement $s^i(w)$ pour tout $1 \leqslant i < n$.

Proposition 1.9. [4] *Pour chaque orbite périodique γ de période n du flot de Lorenz, il existe un et un seul mot de Lyndon de longueur n codant γ, et, inversement, tout mot de Lyndon de longueur n est code réduit d'une orbite périodique de période n du flot de Lorenz.*

Démonstration. Soit γ une orbite périodique de période n et P l'intersection de γ avec l'axe A la plus proche du point selle de gauche. Alors le code réduit $\mathrm{cr}(\gamma, P)$ est un mot de Lyndon. En effet, comme la période de γ est n et non un diviseur de n, le mot $\mathrm{cr}(\gamma, P)$ n'est pas décomposable. D'autre part, d'après le lemme 1.6, les codes réduits associés à d'autres points d'intersection de γ avec A sont après $\mathrm{cr}(\gamma, P)$ dans l'ordre lexicograhique.

L'application ainsi construite est injective, car deux orbites différentes ne peuvent coïncider sur un nombre infini de tours consécutifs autour de l'attracteur, donc leurs codes ne peuvent coïncider. Elle est surjective, puisque, par hypothèse sur l'application pr, tout mot sur l'alphabet $\{L, R\}$, et en particulier tout mot périodique, est réalisable comme code réduit d'une orbite. □

Désormais, on appelle *code réduit* d'une orbite périodique l'unique mot de Lyndon qui la code. Par exemple, le code réduit de l'orbite issue du point d'abscisse 1/7 est le mot de Lyndon LLR. De même, celui de l'orbite issue de 5/31 est le mot de Lyndon $LLRLR$.

Remarque 1.10. L'hypothèse que l'application pr est identifiée à $t \mapsto 2t \mod 1$ est cruciale. Si, par exemple, les deux bandes B_1 et B_2 du patron de Lorenz de la figure 1.2 sont collées, non avec les parties $]0, 1/2[$ et $]1/2, 1[$ de l'axe A, mais avec les parties $]0, k_0[$ et $]k_1, 1[$, avec $k_0 < 1/2 < k_1$, alors tous les mots possibles sur l'alphabet $\{L, R\}$ ne sont pas réalisables comme suite des tours d'une orbite du système de Lorenz modifié. On a alors un système L_{k_0,k_1} dont l'ensemble des orbites est un sous-ensemble de celui qu'on vient de décrire. Les nœuds de Lorenz correspondent au cas le plus général, où tous les mots sont réalisés par une orbite[2].

1.4. **Tresses de Lorenz.** D'après un théorème célèbre d'Alexander, tout nœud est clôture d'une tresse, voir [5] pour une introduction aux tresses et [1] pour une preuve de ce résultat. Pour toute orbite périodique γ du flot de Lorenz, on décrit maintenant une tresse particulière dont la clôture est γ.

On rappelle qu'à toute tresse b à n brins on associe une permutation π de $\{1, \ldots, n\}$ en appelant $\pi(k)$ la position finale du brin initialement en position k. Chaque permutation π est associée à une infinité de tresses. Par contre, il en existe une et une seule dont tous les croisements sont orientés positivement et telle que deux brins quelconques se croisent au plus une fois. Cette tresse est appelée *tresse de permutation associée à π*.

---

[1]Si n est impair, par le théorème de Lagrange, n divise $2^n - 1$, donc tout nombre rationnel à dénominateur impair est de la forme $\frac{p}{2^n-1}$.

[2]J. Guckenheimer et R. Williams ont montré dans [22] que, si le flot géométrique de Lorenz n'est pas *structurellement stable*, au sens où une petite perturbation du champ de vecteur le définissant ne le transforme pas en un champ conjugué, ce flot est néanmoins *persistant*, au sens où une petite perturbation l'envoie sur un champ définissant un flot de type L_{k_0,k_1}.

Théorème 1.11. [4] *(Voir figure 1.4.) Soit γ une orbite périodique du flot de Lorenz coupant n fois l'axe A et coupant p fois la partie $]0,1/2[$ de cet axe. Alors γ est la clôture d'une (unique) tresse de permutation à n brins. La permutation π associée vérifie*

$$1 < \pi(1) < \pi(2) < \ldots < \pi(p) = n > \pi(n) > \pi(n-1) > \ldots > \pi(p+1) = 1.$$

Dans le contexte ci-dessus, la tresse de permutation associée à γ est appelée la *tresse de Lorenz* de γ, et la permutation π est appelée la *permutation de Lorenz* de γ.

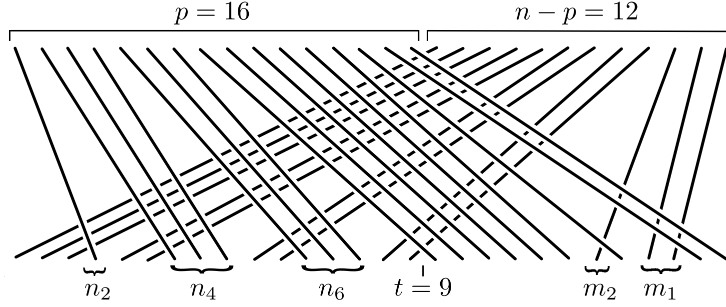


FIG. 1.4. Un exemple de tresse de Lorenz. Les p premiers brins vont vers la droite et les $n-p$ derniers vont vers la gauche en passant sous les premiers. Le pas (définition 3.1) est le nombre de brins du premier groupe qui finissent dans le second groupe. L'indice n_i (défini dans le théorème 3.2) est le nombre de brins du premier groupe qui passent par-dessus $i+1$ brins du second groupe, l'indice m_j est le nombre de brins du second groupe qui passent par-dessous $j+1$ brins du premier groupe.

Esquisse de la démonstration. Il s'agit de décrire en termes de tresses la partie centrale du patron de Lorenz tel qu'il est représenté sur la figure 1.2. On obtient une tresse de la forme de celle de la figure 1.4. □

Exemple 1.12. La tresse de Lorenz associée à l'orbite issue du point d'abscisse $1/7$ est la tresse $\sigma_2\sigma_1$ dont la clôture est un nœud trivial, et la permutation de Lorenz associée est le cycle (231). En revanche, la tresse de Lorenz associée au point $5/31$ est $\sigma_3\sigma_2\sigma_1\sigma_4\sigma_3\sigma_2$ dont la clôture est un nœud de trèfle, la permutation de Lorenz associée est le cycle (35241).

1.5. **Stabilisation.** La proposition 1.9 fournit une énumération de toutes les orbites périodiques de l'attracteur de Lorenz. Cependant, des orbites différentes peuvent être isotopes, c'est-à-dire représenter le même nœud, et donc plusieurs mots de Lyndon peuvent coder le même nœud de Lorenz. Pour réduire la redondance du codage, on introduit maintenant la notion de stabilisation d'une orbite et du mot de Lyndon associé.

Une *transformation de Markov* à droite sur une tresse b à n brins consiste à ajouter un $n+1$-ième brin et un croisement $\sigma_n^{\pm 1}$ (voir figure 1.5). Elle ne change pas la classe d'isotopie de la clôture de la tresse. On remarque que, si b est une tresse de Lorenz à n brins, alors $b\sigma_n$ est encore une tresse de Lorenz, cette fois-ci à $n+1$ brins. On peut de même introduire une transformation de Markov à gauche : si on note $\tilde{b}$ la tresse b où tous les indices des générateurs σ_i ont été augmentés de 1, alors la tresse $\tilde{b}\sigma_1$ est une tresse à $n+1$ brins dont la clôture est la même que celle de b. Comme dans le cas de la transformation à droite, si b est de Lorenz, alors $\tilde{b}\sigma_1$ est aussi de Lorenz. En termes d'orbites sur le patron de Lorenz, les transformations de Markov reviennent à ajouter une petite

boucle faisant le tour d'un des deux points selles de l'attracteur de Lorenz à la partie de l'orbite passant le plus près de celui-ci. La période est alors augmentée de un [3].

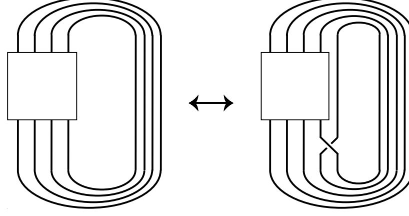


FIG. 1.5. Une transformation de Markov : la tresse b de B_n est remplacée par la tresse $b\sigma_n^{\pm 1}$ de B_{n+1}.

Il est alors facile de traduire l'invariance des nœuds par transformations de Markov en termes de mots de Lyndon.

Proposition 1.13. *Soit w un mot de Lyndon, w_L le mot obtenu en ajoutant une lettre L en tête de w et w_R le mot obtenu en insérant une lettre R après la i-ème lettre de w, où i est maximal pour l'ordre de Lyndon $<_w$. Alors les orbites périodiques du flot de Lorenz ayant w, w_L, et w_R pour codes réduits respectifs sont isotopes.*

Démonstration. Soit γ, γ_L et γ_R les orbites ayant pour codes réduits les mots w, w_L et w_R. Alors, par définition du code, ajouter un x en tête de w revient à ajouter une boucle faisant le tour de point selle gauche à l'orbite γ, soit, en termes de la tresse de Lorenz, à effectuer une transformation de Markov à gauche. Donc γ_L est isotope à γ.

De même, si i est maximal pour l'ordre de Lyndon associé à w, ajouter un R après la i-ème lettre de w revient à effectuer une transformation de Markov, à droite cette fois, car, d'après le lemme 1.6, la i-ème lettre de w correspond à l'intersection de γ avec l'axe A située au plus près de l'attracteur droit. Donc γ_R est isotope à γ. □

Avec les notations de la proposition 1.13, on dira que γ_L est obtenue par *stabilisation* à gauche à partir de γ, et que γ_R est obtenue par *stabilisation* à droite. De même, on dira que w_L est obtenu par *stabilisation* à gauche à partir de w, et que w_R est obtenu par *stabilisation* à droite.

Par exemple, les mots $LLLRLR, LLLLRLR, LLRRLR$, et $LLLLRRRLR$ sont tous obtenus par stabilisation à partir du mot $LLRLR$. Les orbites associées sont donc toutes isotopes (en l'occurrence, elles représentent toutes des nœuds de trèfle).

Comme on peut stabiliser indéfiniment un mot de Lyndon sans changer le nœud correspondant, nous déduisons :

Corollaire 1.14. *Tout nœud de Lorenz apparaît comme classe d'isotopie d'une infinité d'orbites périodiques du flot de Lorenz.*

1.6. **Diagrammes de Young.** Lorsqu'on le représente comme sur la figure 1.4, le diagramme d'une tresse de Lorenz évoque un diagramme de Young. On peut rendre cette correspondance formelle et, alors, les transformations de Markov correspondent à une opération simple sur les diagrammes associés.

On définit une correspondance entre tresses de Lorenz et diagrammes de Young comme suit. Soit b une tresse de Lorenz. Dans le diagramme en segments de b, on efface des fragments des

[3]En termes de permutations de Lorenz, une transformation de Markov à droite correspond à modifier le motif $n \mapsto i$ en le motif $n \mapsto n+1 \mapsto i$, et une transformation de Markov à gauche à augmenter d'une unité tous les indices supérieurs à 1 et à remplacer le motif $1 \mapsto i+1$ en tête par le motif $1 \mapsto 2 \mapsto i+1$.

brins de façon à ne garder que les portions qui se trouvent entre deux croisements, voir figure 1.6. En tournant et déformant la figure pour donner à chaque segment une orientation horizontale ou verticale, on obtient un diagramme de Young, éventuellement complété par deux segments, l'un vers la droite sur l'axe horizontal, l'autre vers le haut sur l'axe vertical.

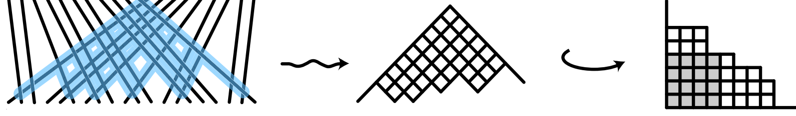


FIG. 1.6. À une tresse de Lorenz on associe un diagramme de Young, augmenté ici de deux segments à gauche et à droite, en ne gardant que la partie épaissie de la tresse de Lorenz. Le pas (définition 3.1) est égal à la longueur du côté du carré grisé, plus 1.

Par exemple, la diagramme de Young complété associé à l'orbite de code réduit LLR est un segment horizontal d'une unité de long. Le diagramme de Young associé au code réduit $LLRLR$ est un diagramme à deux cases sans segment additionnel.

Proposition 1.15. *La correspondance ci-dessus établit une bijection entre les tresses de Lorenz et les diagrammes de Young complétés.*

Démonstration. Partons d'un diagramme de Young complété de largeur p et de hauteur q. On oriente le diagramme convenablement, on prolonge les segments, et on fait de chaque intersection un croisement de tresse positif. La tresse ainsi obtenue est une tresse de Lorenz car, par construction, c'est une tresse de permutation où ni les $p+1$ brins de gauche, ni les $q+1$ brins de droite ne se coupent entre eux. Il est clair que la correspondance ainsi définie est la réciproque de celle décrite dans le théorème 1.11. □

Proposition 1.16. *Tout nœud de Lorenz peut être obtenu comme clôture d'une tresse de Lorenz associée à un diagramme de Young standard (c'est-à-dire non complété).*

Démonstration. Soit K un nœud de Lorenz, et b une tresse de Lorenz dont la clôture est K. D'après la proposition 1.15, la tresse b correspond à un diagramme complété T. Vue la description de la correspondance entre tresses de Lorenz et diagrammes de Young, supprimer un segment additionnel horizontal dans un diagramme complété revient à effectuer une déstabilisation gauche sur la tresse associée, tandis que supprimer un segment vertical revient à effectuer une déstabilisation droite. Partant du diagramme T, on arrive en un nombre fini d'étapes du type précédent à un diagramme standard. Par construction, celui-ci est associé au nœud initial K. □

Remarque 1.17. En termes de mot de Lyndon, un diagramme de Young non complété correspond à un mot w qui est *minimal* au sens où, quand on ôte à w la première lettre L, alors le mot w' obtenu n'est pas un mot de Lyndon et, quand on ôte à w la lettre R dont la position i est maximale dans l'ordre de Lyndon $<_w$, alors i n'est pas maximal dans $<_{w'}$. On déduit alors directement de la proposition 1.16 que tout nœud de Lorenz peut être représenté par une tresse de Lorenz codée par un mot de Lyndon minimal.

Par exemple, le mot de Lyndon $LLLRLR$ n'est pas minimal, puisque, si on lui ôte le premier L, on obtient le mot $LLRLR$, qui est un mot de Lyndon. De même, le mot de Lyndon $LLRRLR$ n'est pas minimal. En effet, l'entier maximal dans l'ordre de Lyndon associé est 3 et, quand on ôte la lettre R en position 3, on obtient $LLRLR$, et 3 reste maximal dans l'ordre de Lyndon associé à ce dernier mot. Par contre, $LLRLR$ est minimal, puisque, d'une part, $LRLR = (LR)^2$ n'est pas un mot de Lyndon et, d'autre part, l'entier maximal dans l'ordre de Lyndon associé à $LLRLR$ est 3, alors que l'entier maximal dans l'ordre de Lyndon associé à $LLLR$ est 4.

À ce point, on a donc une application qui associe à tout diagramme de Young un nœud de Lorenz, et tout nœud de Lorenz est représenté par au moins un diagramme de Young (standard, c'est-à-dire non complété). La question de la redondance du codage ainsi obtenu se repose naturellement :

Question 1.18. Un nœud de Lorenz donné peut-il être représenté par plusieurs diagrammes standards ? par une infinité de diagrammes standards ?

Il est facile de voir que la réponse à la première question est positive : le nœud de trèfle est représenté par chacun des deux diagrammes de Young à deux cases $\begin{smallmatrix}\square\\\square\end{smallmatrix}$ et $\square\square$, correspondant aux deux mots de Lyndon minimaux $LLRLR$ et $LRLRR$. Ce fait est un cas particulier d'un résultat plus général. On appelle *transposé* d'un diagramme le diagramme obtenu par symétrie autour de la première diagonale, c'est-à-dire en échangeant lignes horizontales et verticales.

Proposition 1.19. *Les orbites de Lorenz associées à un diagramme de Young et à son transposé sont isotopes.*

Démonstration. Le patron de Lorenz est invariant par la rotation autour d'une droite horizontale passant par le milieu M de l'axe et échangeant les deux points selles. Une orbite codée par un diagramme de Young est alors envoyée sur l'orbite codée par le diagramme transposé. □

Par contre, on établira une réponse négative à la seconde question avec le corollaire 2.22 : un nœud de Lorenz ne peut être représenté que par un nombre fini de diagrammes de Young non complétés.

2. Propriétés topologiques des nœuds de Lorenz

Dans cette partie, nous étudions l'étendue de la famille des nœuds de Lorenz, ainsi que leurs principales propriétés topologiques. Dans une brève section 2.1, nous observons que tout nœud de de Lorenz est premier. Dans la section 2.2, nous montrons que tout nœud torique est un nœud de Lorenz, et que tout nœud satellite d'un nœud de Lorenz est de Lorenz, d'où il résulte que tout nœud algébrique est de Lorenz. Puis, dans la section 2.3, nous montrons que tout nœud de Lorenz est fibré. Enfin, dans la section 2.4, nous en déduisons les genres des nœuds de Lorenz, avec une application au codage par les diagrammes de Young.

2.1. Primalité.

Définition 2.1. Un nœud K est dit *premier* s'il n'est pas somme connexe de deux nœuds non triviaux.

Autrement dit, un nœud K est premier si, pour toute sphère S de dimension 2 coupant K en deux points, l'une des deux boules ainsi délimitées contient une corde non nouée de K.

Théorème 2.2. [37] *Tout nœud de Lorenz est premier.*

Schéma de la démonstration. Soit K un nœud de Lorenz et S une sphère coupant K en deux points. Le fait que K soit une orbite périodique sur le patron de Lorenz donne des contraintes sur la position de S dans $\mathbb{S}^3$, lesquelles se trouvent être suffisamment fortes pour montrer que l'une des deux cordes délimitées par S est non nouée. □

2.2. Nœuds toriques, satellites et algébriques.

Définition 2.3. Un nœud est dit *torique de type* (p, q) s'il peut être tracé sur la surface d'un tore plongé de manière standard dans $\mathbb{R}^3$, de sorte qu'il coupe p fois chaque méridien du tore, et q fois chaque parallèle.

Proposition 2.4. [4] *Tout nœud torique est un nœud de Lorenz.*



FIG. 2.1. La tresse de Lorenz associée au mot $LLRLRLR$. Sa clôture est un nœud torique de type $(4,3)$.

Démonstration. Par construction, un nœud torique de type (p,q) est clôture d'une tresse où p brins passent parallèlement par-dessus q autres brins (voir figure 2.1). Par définition, une telle tresse est une tresse de Lorenz. □

Définition 2.5. Soit K_b un nœud dans $\mathbb{S}^3$ et K_i un nœud dans $\mathbb{D}^2 \times \mathbb{S}^1$ non isotope à $\{*\} \times \mathbb{S}^1$. Le *nœud satellite* de K_i sur K_b est le nœud image de K_i dans $\mathbb{S}^3$ lorsque l'espace ambiant $\mathbb{D}^2 \times \mathbb{S}^1$ de K_i est identifié avec un voisinage tubulaire de K_b. Si K_i est un nœud torique, on dit aussi que le nœud obtenu est un *câblage* de K_b.

La notion de satellite généralise celle de somme connexe : s'il existe x dans $\mathbb{S}^1$ et un disque dans $\mathbb{D}^2 \times \mathbb{S}^1$ isotope à $\mathbb{D}^2 \times \{x\}$ coupé une fois exactement par K_i, alors le satellite de K_i sur K_b est la somme connexe de ces deux nœuds.

Proposition 2.6. [4] *Si K_b est un nœud de Lorenz et $T(p,q)$ un nœud torique de type (p,q), avec $p,q > 0$, plongé naturellement dans un tore plein, alors le satellite de $T(p,q)$ sur K_b est encore un nœud de Lorenz.*

La démonstration est esquissée sur la figure 2.2.

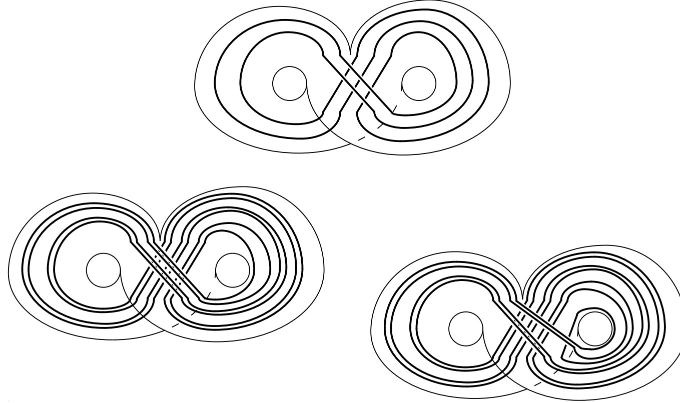


FIG. 2.2. Construction d'un satellite d'un nœud de Lorenz. On part d'un nœud de Lorenz K_b plongé dans le patron de Lorenz, ici en haut à gauche. On épaissit les brins de K_b en q brins parallèles, ici en haut à droite avec $q = 2$. Au voisinage d'un quelconque des deux points selles du patron, ici celui de droite, on fait passer le brin le plus proche du point selle par-dessous ses $q-1$ brins voisins. Cette opération peut être répétée un nombre p quelconque de fois, ici $p = 1$, et on obtient alors toujours un nœud de Lorenz, en bas.

Étant donnée une hypersurface algébrique H de $\mathbb{C}^2$, identifié avec $\mathbb{R}^4$, et un point P sur H, l'intersection $K_{H,\varepsilon}$ entre H et la sphère de rayon ε centrée en P est un nœud, avec éventuellement des points singuliers. Dans [26], J. Milnor montre que, pour ε assez petit, le nœud $K_{H,\varepsilon}$ n'a pas de points singuliers, et par conséquent sa classe d'isotopie est indépendante du rayon ε. Si P est

un point régulier de la surface, alors le nœud en question est trivial. Par contre, si P est un point singulier, ce nœud n'est pas trivial.

Définition 2.7. [26] Un nœud K est dit *algébrique* s'il est la classe d'isotopie de l'intersection d'une hypersurface algébrique de $\mathbb{C}^2$, identifié avec $\mathbb{R}^4$, avec une sphère centrée sur un point de la surface et de rayon suffisamment petit.

Proposition 2.8. [4] *Tout nœud algébrique est un nœud de Lorenz.*

Schéma de la démonstration. Il est démontré dans [11] et [26] que tout nœud algébrique peut être obtenu par câblages successifs à partir d'un nœud torique. La proposition 2.6 assure alors qu'à chaque étape de cblage, le nœud obtenu est de Lorenz. □

Le résultat suivant est une réciproque partielle de la proposition 2.6.

Théorème 2.9. [13] *Tout nœud de Lorenz qui est un satellite d'un nœud de Lorenz est satellite selon le schéma de la proposition 2.6, c'est-à-dire satellite d'un nœud torique sur un nœud de Lorenz.*

Schéma de la démonstration. L'idée est la même que pour démontrer la primalité : si K est un nœud de Lorenz qui est un satellite, alors il existe un tore T plongé de manière non triviale dans $\mathbb{S}^3$ et contenant K en son intérieur. Encore une fois, le fait que K soit une orbite périodique du flot de Lorenz donne suffisamment de contraintes sur T pour montrer qu'il est un voisinage tubulaire d'un nœud de Lorenz, et qu'en son intérieur le nœud K ne fait que tourner comme un nœud torique. □

Ce dernier résultat est spécialement intéressant, puisqu'il détermine quels nœuds de Lorenz sont algébriques, et, lorsque c'est le cas, comment ils apparaissent comme orbites périodiques du flot de Lorenz.

2.3. **Caractère fibré.** Le théorème 1.11 énonce une propriété capitale des nœuds de Lorenz, à savoir qu'ils peuvent être réalisés comme clôtures de tresses positives. Une conséquence notable est le fait qu'ils sont fibrés. D'une part, ceci permet calculer le genre des nœuds de Lorenz (proposition 2.20), et, d'autre part, cela corrobore l'intuition que les nœuds de Lorenz sont des nœuds simples : la structure du complémentaire d'un nœud fibré est bien mieux comprise que celle d'un nœud quelconque.

Définition 2.10. Soit K un entrelacs orienté dans $\mathbb{S}^3$. On appelle *surface de Seifert* pour K une surface orientable de $\mathbb{S}^3$ dont le bord orienté est K. On appelle *genre* de K le genre minimal d'une surface de Seifert pour K.

Notons qu'un nœud est trivial si et seulement si il borde un disque dans $\mathbb{S}^3$, donc si et et seulement si son genre est nul. La figure 2.3 montre une surface de Seifert pour une tresse de Lorenz, dont nous verrons que le genre est minimal (proposition 2.19).

Définition 2.11. Un nœud K dans $\mathbb{S}^3$ est dit *fibré* si son complémentaire *fibre* sur le cercle $\mathbb{S}^1$, c'est-à-dire s'il existe une surface de Seifert Σ_K pour K et un difféomorphisme h de Σ_K préservant le bord tels que le complémentaire de K dans $\mathbb{S}^3$ est isomorphe à $\Sigma_K \times [0,1]/_{(h(x),0)\sim(x,1)}$.

On remarque que, via l'isomorphisme de la définition 2.11, la projection θ sur le deuxième facteur définit une fonction de $\mathbb{S}^3 \setminus K$ sur $\mathbb{S}^1$ qui possède les propriétés suivantes[4] :
(i) θ est lisse et sans point critique ;

[4]On dit alors que couple (K, θ) est un *libre ouvert*, K est la *reliure* et les fibres $\theta^{-1}(t)$ sont les *pages*.

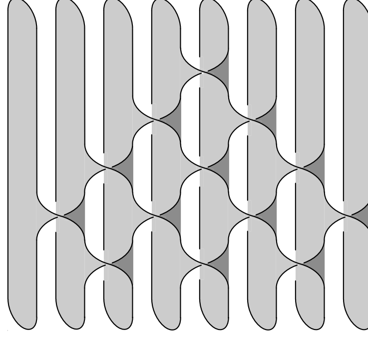


FIG. 2.3. Une surface de Seifert pour le nœud de Lorenz de code $LLRLRRLR$. La même construction est valable pour toute clôture de tresse positive. D'après la proposition 2.19, cette surface est de genre minimal.

(ii) sur un voisinage tubulaire $N(K)$ du nœud homéomorphe à un tore plein $\mathbb{S}^1 \times \mathbb{D}^2$, la fonction θ s'identifie à la fonction argument sur le facteur $\mathbb{D}^2$.

Le nœud trivial est un exemple de nœud fibré. On part d'un cercle en métal que l'on trempe dans du savon liquide ; quand on ressort le cercle, le savon forme un disque bordé par le nœud en métal, lequel est topologiquement trivial. En soufflant sur la pellicule de savon pour la gonfler jusqu'à son éclatement, on définit une fibration sur l'intervalle $[0, \pi[$. En refaisant la même opération en soufflant de l'autre côté, on définit une fibration sur $]-\pi, 0]$.

Regardons $\mathbb{S}^3$ comme la sphère unité de $\mathbb{C}^2$, c'est-à-dire comme l'ensemble des couples (z_1, z_2) de nombres complexes vérifiant $|z_1|^2 + |z_2|^2 = 1$. Pour tout λ dans $\mathbb{C} \cup \{\infty\}$, l'ensemble $\{(z_1, z_2) \mid z_1 = \lambda z_2\}$ est un nœud trivial dans $\mathbb{S}^3$. Un entrelacs constitué par une union quelconque de tels nœuds triviaux est un entrelacs dit *de Hopf* : deux composantes distinctes ont un nombre d'enlacement égal à $+1$. Par exemple, l'ensemble $\{(z_1, z_2) \mid z_1 = \pm z_2\}$ est un entrelacs de Hopf à deux composantes.

Lemme 2.12. *Tout entrelacs de Hopf est fibré.*

Démonstration. Soit H_n un entrelacs de Hopf à n composantes. Sans restreindre la généralité, on peut supposer que H_n est défini comme le lieu d'annulation du polynôme

$$P_n(z_1, z_2) = \prod_{k=1}^{n} (z_1 - k z_2).$$

Pour tout θ dans $[0, 2\pi[$, l'ensemble $\{(z_1, z_2) \mid \arg(P_n(z_1, z_2)) = \theta\}$ est une surface dont le bord est H_n. L'argument du polynôme P induit alors une fibration de $\mathbb{S}^3 \setminus H_n$ sur $\mathbb{S}^1$. □

La démonstration précédente peut être adaptée pour montrer que tout entrelacs algébrique est fibré [26]. Le résultat principal de cette section est une généralisation qui implique en particulier que les nœuds de Lorenz sont fibrés.

Théorème 2.13. [4, 32] *Tout entrelacs qui est clôture d'une tresse positive est fibré.*

L'idée de la démonstration est de construire de proche en proche une fibration pour chaque tresse positive en ajoutant un à un les croisements. Comme l'entrelacs de Hopf à deux composantes est fibré, on l'utilise comme brique élémentaire. D'autre part, on peut recoller certaines fibrations dans $\mathbb{S}^3$ si elles sont non triviales sur des ensembles suffisamment disjoints. La notion de somme de Murasugi formalise cette idée, et on va l'utiliser comme ciment de la construction.

Pour la fin de cette section et pour plus de commodité, nous identifions $\mathbb{S}^3$ avec $\mathbb{R}^3 \cup \{\infty\}$.

Définition 2.14. (Voir figure 2.4) Soit Σ_1 et Σ_2 deux surfaces plongées dans $\mathbb{R}^3$ de bords respectifs K_1 et K_2. Soit Π un plan séparant $\mathbb{R}^3$ en deux demi-espaces ouverts B_1 et B_2. On suppose que

(i) Σ_1 est incluse dans l'adhérence de B_1 et Σ_2 dans l'adhérence de B_2 ;

(ii) $\Sigma_1 \cap \Sigma_2$ est un $2n$-gone D contenu dans Π ;

(iii) K_1 et K_2 sont deux nœuds se coupant uniquement aux sommets $x_1, \ldots, x_{2n}$ de D.

On définit alors la *somme de Murasugi* $\Sigma_1 \# \Sigma_2$ des surfaces Σ_1 et Σ_2 comme leur réunion $\Sigma_1 \cup \Sigma_2$. Par extension, on définit la *somme de Murasugi* $K_1 \# K_2$ des nœuds K_1 et K_2 comme le nœud $K_1 \cup K_2 \setminus \bigcup_i]x_i, x_{i+1}[$.

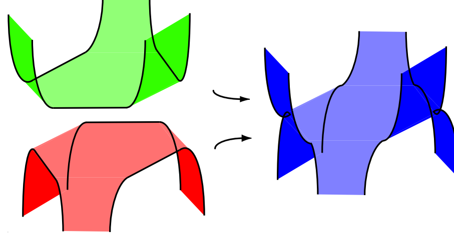


FIG. 2.4. La somme de Murasugi de deux surfaces à bord.

La somme de Murasugi généralise la somme connexe, qui correspond au cas $n = 1$ dans la définition. Elle généralise également le plombage, qui correspond au cas $n = 2$. La somme de Murasugi est une opération géométrique naturelle pour les surfaces (et pour les nœuds qu'elles bordent), à savoir qu'elle conserve plusieurs propriétés importantes [15, 16], comme par exemple le fait d'être une surface incompressible, le fait d'être une surface de genre minimal, ou encore le fait d'être un nœud fibré, comme nous allons le voir.

L'idée fondamentale pour montrer que la somme de Murasugi de deux nœuds fibrés est un nœud fibré consiste à déformer préalablement les fibrations associées pour qu'elle soient non triviales sur des ensembles disjoints, d'où la définition suivante.

Définition 2.15. Soit K un nœud fibré, $\theta : \mathbb{S}^3 \setminus K \mapsto \mathbb{S}^1$ définissant la fibration associée et Π une sphère de dimension 2 divisant $\mathbb{S}^3$ en deux boules B_1 et B_2. On dit que la fibration θ est *tangente inférieurement* (resp. *supérieurement*) à Π si

(i) il existe un polygone P de sommets $x_1, x_2, \ldots, x_{2n}$ sur Π tel que K rencontre Π le long des côtés $[x_1x_2], \ldots, [x_{2n-1}x_{2n}]$ (*resp.* $[x_2x_3], \ldots, [x_{2n}x_1]$) de P et K ne passe pas dans B_2 (*resp.* B_1) ;

(ii) $N(K) \cap \Pi$ consiste en un 2ε-voisinage des côtés $[x_1x_2], \ldots, [x_{2n-1}x_{2n}]$ (*resp.* $[x_2x_3], \ldots, [x_{2n}x_1]$) ;

(iii) à l'extérieur d'un ε-voisinage $N(P)$ du polygone P dans Π, la fonction θ vaut 0 d'un côté de P et π de l'autre ;

(iv) à l'intérieur de $N(P)$, la fonction θ prend ses valeurs dans l'intervalle $[0, \pi]$ (*resp.* $[\pi, 2\pi]$).

Si on voit une fibration comme le déplacement continu d'une fibre qui remplit tout le complémentaire d'un nœud, alors une fibration est tangente supérieurement à un plan si, sous ce plan, la fibre se déplace comme la bulle de savon décrite pour la fibration du nœud trivial. Le résultat suivant assure qu'étant donné un nœud fibré K et une sphère P tangente à K, on peut supposer la fibration tangente à P.

Lemme 2.16. *Soit K un nœud fibré dans $\mathbb{S}^3 = \mathbb{R}^3 \cup \{\infty\}$ et $\theta : \mathbb{S}^3 \setminus K \to \mathbb{S}^1$ la fibration associée. Soit Π une sphère de dimension 2 divisant $\mathbb{S}^3$ en deux boules B_1 et B_2, telle que K rencontre Π le long d'un nombre fini de courbes $[x_1x_2], \ldots, [x_{2n-1}x_{2n}]$ (*resp.$[x_2x_3], \ldots, [x_{2n}x_1]$*) bordant un*

*polygone P et K ne passe pas dans B_2 (*resp. *B_1). Alors on peut déformer P, Π et θ par isotopie de sorte que Π passe par le point à l'infini et que θ soit tangente inférieurement (*resp. *supérieurement) à P.*

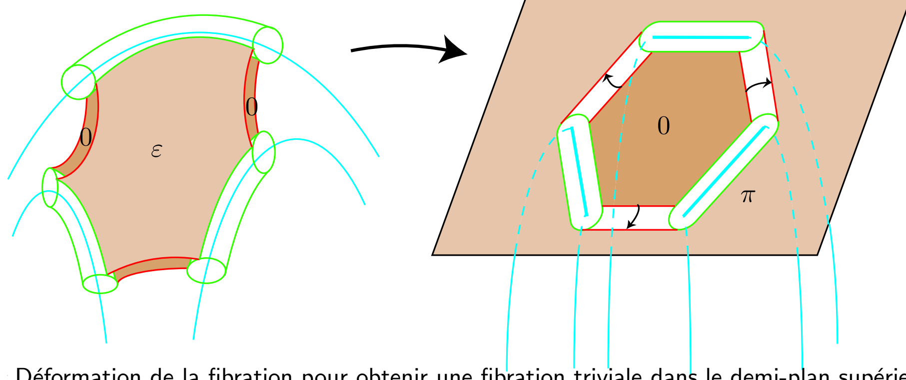


FIG. 2.5. Déformation de la fibration pour obtenir une fibration triviale dans le demi-plan supérieur.

Démonstration. (Voir figure 2.5.) Comme K ne passe pas dans B_2, on peut contracter Π dans un voisinage d'un polygone D ayant $x_1, \ldots, x_{2n}$ pour sommets. Comme D est contractile, on peut s'assurer que D est inclus dans la fibre $\theta^{-1}(0)$. Déformons alors Π comme sur la partie gauche de la figure 2.5 pour que $\Pi \cap \mathbb{S}^3 \setminus N(K)$ consiste en deux copies de D, l'une dans la fibre $\theta^{-1}(0)$ et l'autre dans la fibre $\theta^{-1}(\varepsilon)$. On peut alors zoomer sur B_2, qui est la partie comprise entre les fibres $\theta^{-1}(0)$ et $\theta^{-1}(\varepsilon)$, pour lui faire remplir tout le demi-espace supérieur. On peut également composer θ à droite par un difféomorphisme du cercle envoyant l'intervalle $]0, \varepsilon[$ sur $]0, \pi[$. Si on pense au paramètre de la fibration comme à un temps, cela revient à ralentir le temps pour passer un temps π dans le demi-espace supérieur. La fibration obtenue est alors semblable à celle qui est représentée sur la partie droite de la figure 2.5, qui est tangente inférieurement à P. □

Ces préliminaires nous permettent de montrer le résultat-clé suivant.

Théorème 2.17. [15] *Soit K_1 et K_2 deux nœuds fibrés. Alors leur somme de Murasugi $K_1 \# K_2$ est fibrée.*

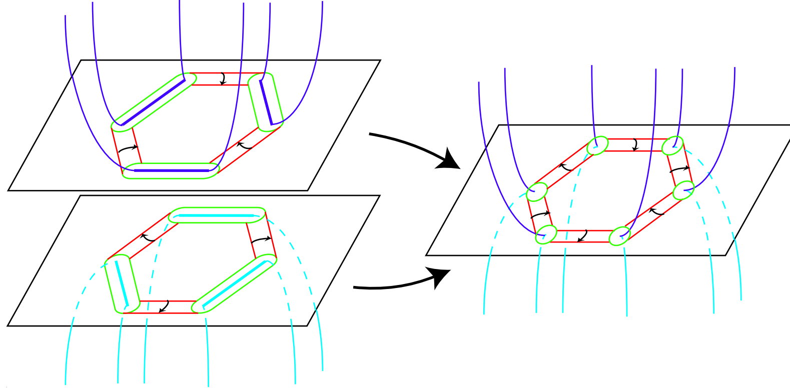


FIG. 2.6. Le collage de deux fibrations pour obtenir une fibration de la somme de Murasugi de deux nœuds.

Démonstration. (Voir figure 2.6.) Soit θ_1 une fibration associée à K_1, θ_2 une fibration associée à K_2, et Π la sphère le long de laquelle sont recollés les nœuds K_1 et K_2. D'après le lemme 2.16, on peut déformer K_1 et θ_1 de sorte que la fibration θ_1 soit tangente inférieurement à Π, et de même on peut déformer K_2 et θ_2 de sorte que θ_2 soit tangente supérieurement à Π. La somme de Murasugi $K_1 \# K_2$ est alors obtenue en recollant le demi-espace inférieur associé à K_1 et le demi-espace supérieur associé à K_2, et en supprimant les arcs formant le polygône $x_1, \ldots, x_{2n}$ dans Π.

On définit une nouvelle fonction θ, dont nous montrerons par la suite qu'elle induit une fibration. Sur le demi-espace inférieur, θ coïncide avec θ_1, sauf au voisinage des arcs $[x_1, x_2], \ldots, [x_{2n-1}x_{2n}]$ où θ_1 n'était pas définie. De même, sur le demi-espace supérieur, θ coïncide avec θ_2, sauf au voisinage des arcs $[x_2, x_3], \ldots, [x_{2n}x_1]$ où θ_2 n'était pas définie.

Au voisinage des arcs $[x_1, x_2], [x_3, x_4], \ldots, [x_{2n-1}x_{2n}]$, la fonction θ est définie sur le demi-espace supérieur, et varie de π à 2π quand on se déplace de l'extérieur vers l'intérieur du polygône. Elle est également définie sur le demi-espace inférieur jusqu'à la frontière d'un voisinage tubulaire de ces arcs, et varie également de π à 2π quand on se déplace de l'extérieur vers l'intérieur sur cette frontière. On cherche donc à prolonger θ sur n cylindres disjoints, sachant que, sur le bord de ces cylindres, θ varie de π à 2π comme indiqué sur la gauche de la figure 2.7. On le fait à l'aide de la fonction hauteur indiquée à droite de la figure 2.7. De même on prolonge θ avec des valeurs dans l'intervalle $[0, \pi]$ dans le demi-plan supérieur au voisinage des arcs $[x_2, x_3], \ldots, [x_{2n}x_1]$.

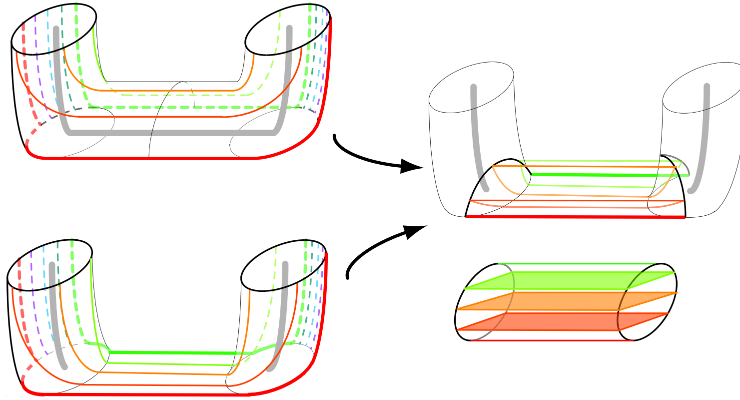


FIG. 2.7. Complétion de la fibration d'un somme de Murasugi à partir de la réunion des fibrations associées à chacun des demi-espaces. À gauche, la fibration au voisinage d'un arc de type $]x_i, x_{i+1}[$ pour chacun des deux nœuds K_1 (en haut) et K_2 (en bas). Les arcs représentent les niveaux de la fonction θ, et plus précisément l'intersection des fibres avec un voisinage tubulaire de K_1 et K_2 respectivement, sur la partie du bas, on a également ajouté les niveaux de θ dans le plan Π de recollement. En haut à droite, la partie sur laquelle il faut définir de nouvelles valeurs pour la fonction θ, qui est un cylindre. Les conditions au bord sont alors fixées. En bas à droite, un feuilletage d'un cylindre remplissant ces contraintes de bord.

La fonction θ est alors définie sur tout $\mathbb{S}^3 \setminus N(K_1 \# K_2)$, et à valeurs dans $\mathbb{S}^1$.

Pour vérifier que θ induit une fibration, établissons que la fonction θ n'a pas de singularité. Comme les fonctions θ_1 et θ_2 sont transverses au plan Π de recollement, et sans singularité, et comme θ coïncide partout hors de $N(K_1) \cup N(K_2)$ avec l'une de ces deux fonctions, la fonction θ est sans singularité hors de $N(K_1) \cup N(K_2)$. Sur la partie $N(K_1) \cup N(K_2)$, le prolongement de θ a été justement choisi pour ne pas faire apparaître de singularité.

Pour compléter la démonstration, il reste à vérifier que θ est bien un argument au voisinage de $K_1 \# K_2$. Le seul endroit où la condition pourrait ne pas être remplie est autour des points $x_1, \ldots, x_{2n}$. La figure 2.6 montre que la fonction θ y est bien de la forme désirée. □

On est maintenant prêt pour démontrer que la clôture de toute tresse positive est un entrelacs fibré.

du théorème 2.13. Soit b une tresse positive et K sa clôture. On reconstruit l'entrelacs K de proche en proche en empilant des entrelacs de Hopf à deux composantes selon un ordre qui assure qu'à chaque étape l'entrelacs intermédiaire obtenu est fibré. Pour cela, on définit m *briques élémentaires* pour K en associant à chaque paire de croisements associés au même générateur σ_i et consécutifs un entrelacs de Hopf à deux composantes. On numérote ces briques, de gauche à droite, et dans chaque colonne de bas en haut (voir figure 2.8). Chaque brique élémentaire est fibrée d'après le lemme 2.12. Pour i allant de 1 à m, on définit K_i comme l'entrelacs formé par la somme de Murasugi des i premières briques, assemblées selon la même configuration que dans K. On montre par récurrence sur i que K_i est fibré. En effet, grâce à l'ordre choisi sur les briques, pour tout i, la frontière de la i-ième brique fournit une sphère tangente à la fibration associée aux $i-1$ premières briques, soit à K_{i-1}. D'après le lemme 2.17, l'entrelacs K_i obtenu en recollant la i-ième brique est également fibré. On en déduit par récurrence que l'entrelacs K, qui coïncide avec K_m, est fibré. □

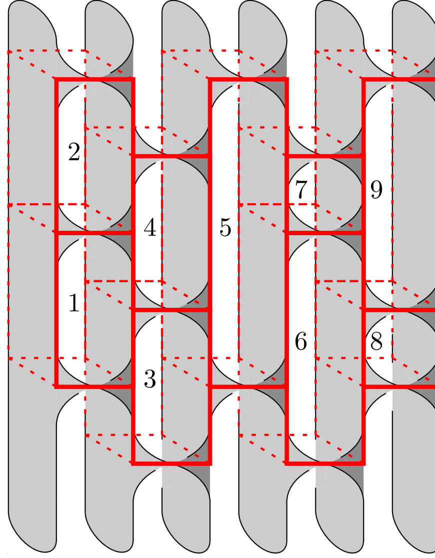


FIG. 2.8. Construction itérative de la fibration associée à la clôture d'une tresse positive. Chaque brique correspond à un entrelacs de Hopf à deux composantes. En les empilant dans l'ordre prescrit, on s'assure que la somme de Murasugi fibre à chaque étape de la construction.

Remarque 2.18. On a utilisé la positivité de b de manière cruciale en affirmant que chaque brique élémentaire est fibrée. En effet, si la tresse b a un croisement positif et un croisement négatif consécutifs dans une même colonne, la brique correspondante est composée d'un entrelacs à deux composantes trivial, et n'est alors pas fibrée. La construction par récurrence d'une fibration par la méthode décrite ci-dessus n'est donc plus possible. Par contre, l'argument peut être étendu au cas d'une tresse *homogène*, définie comme une tresse possédant une décomposition dans laquelle, pour

chaque i, l'un au plus des générateurs σ_i ou σ_i^{-1} apparaît. Ceci montre par exemple que le nœud de huit, clôture de la tresse $\sigma_1\sigma_2^{-1}\sigma_1\sigma_2^{-1}$, est fibré.

2.4. **Genre.** Dans la section précédente, on a montré qu'un nœud qui est clôture d'une tresse positive est fibré. La technique utilisée a également permis de construire une fibre pour la fibration associée. Dans cette section, nous utilisons ces informations pour calculer le genre des nœuds de Lorenz et en déduire un critère simple permettant de montrer qu'un nœud donné n'est pas un nœud de Lorenz.

Proposition 2.19. *Soit b une tresse positive, K sa clôture, et Σ la surface de Seifert associée selon le schéma de la figure 2.3. Alors Σ est une surface de Seifert de genre minimal pour K.*

Démonstration. Reprenons les notations de la section précédente. On a vu que le nœud K admet une fibration définie par une fonction θ telle que $\Sigma = \theta^{-1}(0)$. Comme θ définit une fibration de $\mathbb{S}^3 \setminus K$, le revêtement cyclique infini du complémentaire de K est isomorphe à $\theta^{-1}(0) \times \mathbb{R}$. De même, pour toute surface de Seifert Σ_K de genre minimal, le revêtement cyclique infini de K est isomorphe à $\Sigma_K \times \mathbb{R}$. Or le revêtement est unique, et donc, par factorisation, deux surfaces de Seifert de genre minimal pour un nœud fibré sont isotopes dans $\mathbb{S}^3 \setminus K$. □

Proposition 2.20. *Soit n la période d'un nœud de Lorenz K et c le nombre de croisements d'une tresse de Lorenz associée. Alors le genre g de K est donné par la formule $2g = n - c$.*

Démonstration. La fibre $\theta^{-1}(0)$ exhibée dans la preuve du théorème 2.13 est une surface de Seifert de genre minimal. Or, par construction, $\theta^{-1}(0)$ est isotope à la surface de Seifert représentée sur la figure 2.3. Par conséquent cette dernière est de genre minimal. Or on vérifie facilemet que sa caractéristique d'Euler est $1 + c - n$ et qu'elle n'a qu'une composante de bord, donc son genre est $(n - c)/2$. □

On a vu dans la proposition 1.14 que chaque nœud de Lorenz est réalisé par une infinité d'orbites du flot de Lorenz, et, par conséquent, est associé à une infinité de tresses de Lorenz. La proposition 2.20 implique que, pour toutes ces tresses, la quantité $n - c$, différence entre le nombre de brins et le nombre de croisements, prend la même valeur.

La proposition 2.20 se reformule directement en termes de diagrammes de Young.

Corollaire 2.21. *Le genre d'un nœud de Lorenz associé à un diagramme de Young est la moitié du nombre de cases de ce diagramme.*

Nous avons vu avec la proposition 1.19 que deux diagrammes de Young distincts peuvent coder le même nœud de Lorenz. Par contre, nous pouvons maintenant borner supérieurement le défaut d'injectivité de ce codage.

Proposition 2.22. *Pour tout nœud de Lorenz K, il n'y a qu'un nombre fini de diagrammes de Young standards associés à K.*

Démonstration. Si K a pour genre g, tout diagramme de Young associé K a $2g$ cases en vertu du corollaire 2.21. Or il n'existe qu'un nombre fini de diagrammes de Young ayant $2g$ cases. □

Ce résultat fournit un moyen de démontrer qu'un nœud donné n'est pas un nœud de Lorenz. Par exemple, le nœud de huit n'est pas un nœud de Lorenz, car son genre est 1, et les seuls diagrammes de Young à deux cases sont tous deux associés au nœud de trèfle.

Proposition 2.23. *Parmi tous les nœuds admettant un représentant planaire ayant au plus seize croisements, exactement vingt sont des nœuds de Lorenz.*

Démonstration. Dans [9], nous avons déterminé les polynômes d'Alexander et de Jones de tous les nœuds de Lorenz de période au plus 21. Cette liste inclut en particulier tous les nœuds de Lorenz de genre au plus 9. Or elle ne compte que vingt nœuds ayant au plus seize croisements. Si on s'intéresse à la question de savoir quels nœuds ayant au plus seize croisements sont de Lorenz, cette liste est suffisante puisqu'un nœud ayant au plus $2g + 1$ croisements est de genre au plus g. Par conséquent, les nœuds ayant au plus seize croisements sont de genre au plus 8, et donc ont été recensés dans la liste de [9]. □

3. L'indice de tresse

Nous poursuivons maintenant l'étude topologique des nœuds de Lorenz en déterminant de façon détaillée leur indice de tresse, c'est-à-dire le plus petit nombre de brins d'une tresse représentant ce nœud. Pour ce faire, nous introduisons dans la section 3.1 une nouvelle famille de tresses, dite de Birman-Williams, de sorte qu'une orbite de Lorenz donnée est clôture de la tresse de Birman-Williams associée. Le nombre de brins d'une tresse de Birman-Williams est, par définition, le pas de l'orbite de Lorenz associée, une donnée combinatoire qui se lit par exemple sur les mots de Lyndon. Nous montrons ensuite que ce nombre de brins est minimal parmi ceux de tresses dont l'orbite est la clôture. Pour ce faire, nous utilisons un résultat général sur l'indice de tresse d'un nœud qui est clôture d'une tresse positive, dû à J. Franks, H. Morton et R. Williams (théorème 3.5)[5]. Nous donnons une démonstration détaillée de ce résultat, à la fois pour son intérêt propre et pour offrir une version plus complète que celle de l'article original [14]. La section 3.2 rappelle la construction récursive du polynôme HOMFLY à partir des relations d'écheveau et introduit le formalisme des arbres de calcul positifs. Dans la section 3.3, nous introduisons une variante du polynôme HOMFLY qui est bien adaptée au cas des nœuds qui sont clôtures de tresses positives. Ceci nous mène finalement dans la section 3.4 à la démonstration du théorème 3.5 et à son application au calcul de l'indice de tresse des nœuds de Lorenz.

3.1. Tresse de Birman–Williams et indice de tresse.

Dans le théorème 1.11, on a associé à toute orbite γ du flot de Lorenz une tresse privilégiée, dite tresse de Lorenz, dont la clôture représente le nœud K associé à γ. En déformant le patron comme sur la figure 3.1, on fait apparaître une autre tresse dont la clôture est K. Cette tresse, dite *de Birman–Williams*, est, comme la tresse de Lorenz, une tresse positive. Par contre, ce n'est pas une tresse de permutation. Elle fournit un représentant plus économe que la tresse de Lorenz dans la mesure où elle met en jeu moins de brins et moins de croisements.

Pour décrire les tresses de Birman–Williams, on définit d'abord le pas d'une orbite de Lorenz.

Définition 3.1. On appelle *pas* d'une orbite périodique du flot de Lorenz le nombre d'occurrences du mot LR dans le code réduit de cette orbite.

En termes de tresses de Lorenz (voir la figure 1.4), le pas correspond au nombre de brins traversant, dans chaque sens, la ligne imaginaire séparant les p premiers brins des $n - p$ derniers. En termes de diagrammes de Young (voir la figure 1.6), le pas est le plus grand entier t tel qu'on puisse inscrire un carré $(t - 1) \times (t - 1)$ dans le diagramme de Young correspondant à l'orbite.

On rappelle que, pour t entier positif, Δ_t^2 désigne la tresse $(\sigma_1 \dots \sigma_{t-1})^t$ correspondant à un tour complet de t brins sur eux-mêmes. Par ailleurs, une tresse positive b est dite *multiple* de Δ_t^2 s'il existe une tresse positive b' vérifiant $b = \Delta_t^2 b'$.

[5] Le nom de H. Morton n'apparaît pas dans les auteurs de l'article [14], mais il y est mentionné que ce dernier est aussi l'auteur d'une démonstration du théorème 3.5.

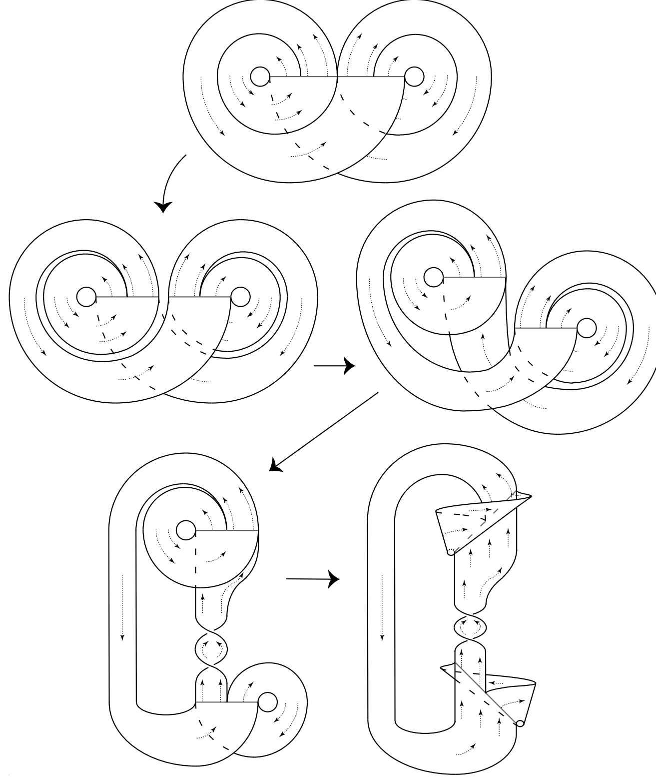


FIG. 3.1. Le patron de Lorenz déformé pour que le flot soit ascendant sur la branche droite et descendant sur la branche gauche.

Théorème 3.2. [4] *Soit γ une orbite périodique du flot de Lorenz de pas t et de permutation π, et soit K le nœud associé. Soit b la tresse à t brins*

$$\Delta_t^2 \prod_{i=1}^{t-1} (\sigma_1\sigma_2 \dots \sigma_i)^{n_i} \prod_{i=t-1}^{1} (\sigma_{t-1} \dots \sigma_i)^{m_{t-i}}, \tag{3.1}$$

avec

$$n_i = \mathrm{card}\{j \,|\, \pi(j) - j = i + 1 \text{ et } \pi(j) < \pi^2(j)\} \tag{3.2}$$

$$m_i = \mathrm{card}\{j \,|\, j - \pi(j) = i + 1 \text{ et } \pi(j) > \pi^2(j)\}. \tag{3.3}$$

Alors la clôture de la tresse b est un représentant de K.

Esquisse de la démonstration. On décrit l'image de la tresse de Lorenz de la figure 1.4, quand on la déforme selon le schéma indiqué sur la figure 3.1. □

La tresse définie par la formule (3.1) est appelée *tresse de Birman-Williams* pour l'orbite γ.

Exemple 3.3. Revenons à l'orbite partant du point 5/31. Le mot de Lyndon associé est $LLRLR$, qui contient deux fois LR. Le pas vaut donc 2. La permutation de Lorenz est (13524), le seul indice non nul dans la tresse de Birman-Williams est alors n_1 qui vaut 1, et donc la tresse de Birman-Williams associée est σ_1^3, dont la clôture est bien un nœud de trèfle.

Notre but dans la suite de cette partie est de démontrer le résultat suivant.

Théorème 3.4. *L'indice de tresse d'un nœud de Lorenz est égal au pas de toute orbite du flot de Lorenz le réalisant.*

Eu égard au théorème 3.2, le théorème 3.4 est un corollaire direct du résultat suivant, qui est celui que nous allons démontrer dans la suite.

Théorème 3.5. [14] *Soit K un nœud qui est la clôture d'une tresse positive b à t brins multiple de Δ_t^2. Alors l'indice de tresse de K est égal à t.*

3.2. **Le polynôme HOMFLY et les arbres de calcul.** La démonstration du théorème 3.5 va faire appel au polynôme HOMFLY, aussi appelé HOMFLY-PT. Celui-ci est une extension à deux variables du polynôme de Jones, et, comme ce dernier, il admet une définition simple en termes de relations d'écheveau pour les diagrammes planaires.

Soit K un entrelacs orienté et K_+ une projection planaire régulière de K, c'est-à-dire ne possédant qu'un nombre fini de points multiples et telle que ceux-ci soient tous des points doubles. Choisissons un point double M de K_+. Définissons K_- comme l'entrelacs admettant la même projection que K_+, sauf au point M, où les brins du dessus et du dessous sont échangés, et définissons K_0 comme l'entrelacs orienté où le croisement en M a été supprimé (voir figure 3.2). Alors, par définition, les polynômes HOMFLY des trois entrelacs associés sont reliés par la relation

$$x\ P_{K_+} + x^{-1}P_{K_-} + y\ P_{K_0} = 0, \tag{3.4}$$

dite *relation d'écheveau*. Désignons par $\bigcirc$ le nœud trivial. En imposant $P_{\bigcirc} = 1$, le polynôme P_K est alors défini de manière unique pour tout nœud K. Noter que la relation d'écheveau impose $P_{\bigcirc^k} = \big(-(x+x^{-1})/y\big)^{k-1}$, où $\bigcirc^k$ désigne la réunion de k nœuds triviaux deux à deux non enlacés. Le polynôme de Jones correspond à la spécialisation $y = 1$. Une description plus précise du polynôme HOMFLY peut être trouvée par exemple dans [24, chapitre 15].

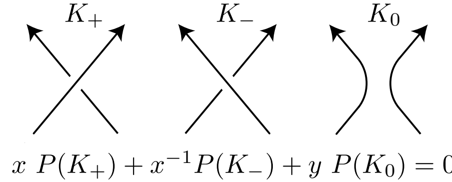


FIG. 3.2. La relation d'écheveau définissant le polynôme HOMFLY.

Le calcul effectif du polynôme HOMFLY d'un nœud peut s'effectuer en introduisant un arbre de calcul dont les bifurcations successives correspondent aux points doubles où la relation d'écheveau (3.4) est invoquée. Un choix arbitraire des points doubles peut mener à une boucle, par exemple si on choisit deux fois de suite le même point. Par contre, on va voir que, pour autant qu'on change de point d'application à chaque étape, le processus de calcul converge en un nombre fini d'étapes.

Comme nous considérons dans la suite des tresses qui ne possèdent pas toutes le même nombre de brins, il est commode de définir une *tresse marquée* comme un couple (b, n) où b est une tresse à au plus n brins, et une *tresse positive marquée* comme une tresse marquée (b, n) où b est une tresse positive à au plus n brins.

Définition 3.6. On dit que deux tresses marquées (b, n) et (b', n') sont reliées par une *transformation de Markov positive* si

– ou bien on a $n' = n$ et b' est conjuguée à b dans le groupe des tresses à n brins,
– ou bien on a $n' = n + 1$ et $b' = b\sigma_n$,
– ou bien, symétriquement, on a $n = n' + 1$ et $b = b'\sigma_n$.

Remarquer que, si on note $c(b,n)$ la différence entre le nombre de croisements positifs dans (b,n) et le nombre de croisements négatifs, alors la quantité $c(b,n)-n$ est invariante par transformation de Markov positive. La propriété que nous utiliserons dans la suite est que, si deux tresses marquées sont reliées par une suite de transformations de Markov positives, alors leur clôtures sont isotopes.[6]

Afin de suivre le schéma de calcul suggéré par la relation d'écheveau (3.4), J. Conway a introduit pour les tresses marquées une relation qui en est la contrepartie.

Définition 3.7. Soit (b,n) une tresse marquée. On dit que deux tresses marquées (b_0,n) et (b_-,n) sont obtenues par *scindement de Conway* à partir de (b,n) s'il existe des tresses b_1, b_2 et vérifiant

$$b = b_1\sigma_i b_2, \quad b_0 = b_1 b_2, \quad \text{et} \quad b_- = b_1\sigma_i^{-1}b_2. \tag{3.5}$$

Si (b,n) est une tresse marquée, on note $P_{(b,n)}$ le polynôme HOMFLY de sa clôture. La relation d'écheveau (3.4) implique que, si (b_0,n) et (b_-,n) sont obtenues par scindement de Conway à partir de (b,n), alors on a

$$P_{(b,n)}(x,y) = -x^{-1}yP_{(b_0,n)}(x,y) + -x^{-2}P_{(b_-,n)}(x,y). \tag{3.6}$$

On peut alors définir un arbre de calcul pour le polynôme P, qui mime en termes de tresses marquées le calcul du polynôme HOMFLY de la clôture.

Définition 3.8. Soit (b,n) une tresse marquée. Un *arbre de calcul positif pour* (b,n) est un arbre binaire, orienté, fini, dont chaque sommet est étiqueté par une tresse marquée, dont chaque arête est étiquetée par un monôme de $\mathbb{Z}[x,x^{-1},y,y^{-1}]$, et qui satisfait aux propriétés suivantes :

(i) La racine est étiquetée (b,n).

(ii) Si S est un sommet étiqueté (b_s,n_s) qui n'est pas une feuille, et si S_g et S_d sont ses fils, étiquetés respectivement (b_g,n_g) et (b_d,n_d), alors (b_g,n_g) et (b_d,n_d) s'obtiennent à partir de (b_s,n_s) en faisant d'abord une suite de transformations de Markov positives, puis un scindement de Conway.

(iii) Si, de plus, les arêtes reliant S à S_g et S_d sont étiquetées par les monômes p_g et p_d respectivement, alors on a $P_{(b_s,n_s)} = p_gP_{(b_g,n_g)} + p_dP_{(b_d,n_d)}$.

(iv) Si f est une feuille étiquetée (b_f,n_f), alors b_f est la tresse triviale à n_f brins.

S'il existe un arbre de calcul positif $\mathcal{A}$ pour une tresse marquée (b,n), il devrait être clair que cet arbre fournit une stratégie pour déterminer le polynôme HOMFLY de la clôture de (b,n), en itérant la relation d'écheveau (3.6). En effet, notons $\mathcal{F}$ l'ensemble des feuilles de $\mathcal{A}$, et, pour une feuille f dans $\mathcal{F}$, notons p_f le produit des monômes rencontrés sur les arêtes de $\mathcal{A}$ le long du chemin allant de la racine à f. Alors, par construction, on a

$$P_{(b,n)}(x,y) = \sum_{f\in\mathcal{F}} p_f \cdot \left(-\frac{x+x^{-1}}{y}\right)^{n_f-1}.$$

Par contre, il n'est pas évident *a priori* qu'un tel arbre de calcul existe pour toute tresse. Nous allons montrer maintenant que c'est bien le cas. À partir de maintenant, on ne travaille plus qu'avec des tresses positives[7]. Commençons par un résultat technique sur les transformations de Markov positives.

[6] Dans la section 1.5, on a mentionne les transformations de Markov générales, où on peut aussi passer de (b,n) a $(b\sigma_n^{-1}, n+1)$. Rappelons que le théorème de Markov affirme que les clôtures de deux tresses marquées sont des entrelacs isotopes si et seulement si on peut passer de (b,n) à (b',n') par une suite finie de transformations de Markov (générales).

[7] Si on autorise également des scindements de Conway *négatifs*, c'est-à-dire où les rôles de σ_i et σ_i^{-1} sont échangés, les arbres de calculs existent en fait pour toute tresse marquée. La démonstration est un peu plus longue, mais repose sur les mêmes arguments.

Lemme 3.9. *Soit (b, n) une tresse positive marquée. Alors, par une suite de transformations de Markov positives, on peut transformer (b, n) en (b', n'), où b' est soit la tresse triviale sur n' brins, soit une tresse positive qui est multiple de σ_i^2 pour au moins un entier i.*

Démonstration. Définissons le *poids* π d'un mot de tresse positif par $\pi(\sigma_i) = i$ et $\pi(w_1 w_2) = \pi(w_1) + \pi(w_2)$. Nous allons prouver le résultat par récurrence sur le poids d'un mot de tresse w représentant b. Le seul mot de tresse de poids nul est le mot vide, correspondant à la tresse triviale, pour laquelle le résultat est vrai. Soit m le plus grand entier tel que σ_m apparaît dans le mot w.

Si σ_m n'apparaît qu'une fois dans w, alors w est de la forme $w_0\sigma_m w_4$, et donc b est conjuguée à la tresse décrite par le mot $w_4 w_0 \sigma_m$. Une transformation de Markov positive supprime alors le σ_m final. Comme $\pi(w_4 w_0) = \pi(w) - m$, par hypothèse de récurrence, le résultat est vrai pour la tresse représentée par le mot $w_4 w_0$, et donc pour la tresse b.

Sinon, on peut supposer que σ_m apparaît au moins deux fois dans w. Alors le mot w se décompose en $w_0\sigma_m w_2 \sigma_m w_4$ de sorte que w_2 ne contienne aucun σ_m. Il y a alors trois cas possibles :

Premier cas : σ_{m-1} n'apparaît pas dans w_2. La tresse représentée par le mot $\sigma_m w_2 \sigma_m$ est également représentée par $w_2\sigma_m^2$, et par conséquent b est conjuguée à la tresse représentée par $w_4 w_0 w_2 \sigma_m^2$.

Deuxième cas : σ_{m-1} apparaît une fois exactement dans w_2. Alors w_2 se décompose en $w_1\sigma_{m-1}w_3$, et la tresse b, représentée par le mot $w_0\sigma_m w_1 \sigma_{m-1} w_3 \sigma_m w_4$, est également représentée par le mot $w_0 w_1 \sigma_m \sigma_{m-1} \sigma_m w_3 w_4$, dont le poids est aussi $\pi(w)$. Mais, d'après la relation de tresse $\sigma_{m-1}\sigma_m\sigma_{m-1} = \sigma_m\sigma_{m-1}\sigma_m$, b est aussi représentée par le mot $w_0 w_1 \sigma_{m-1}\sigma_m\sigma_{m-1} w_3 w_4$, dont le poids est $\pi(w) - 1$. L'hypothèse de récurrence s'applique alors.

Troisième cas : σ_{m-1} apparaît au moins deux fois dans w_2. Alors, w_2 se décompose sous la forme $w_1\sigma_{m-1}w_2'\sigma_{m-1}w_3$, avec w_2' ne contenant aucun σ_{m-1}. On réitère le processus à partir du mot w_2', à la recherche de la lettre σ_{m-2}. À chaque itération, soit on trouve un mot représentant la tresse b et contenant un facteur σ_i^2, soit le poids décroît, soit l'indice m du générateur recherché décroît. Cette dernière éventualité ne peut se produire une infinité de fois, par conséquent le processus s'achève. □

Le résultat suivant justifie l'introduction des arbres de calcul positifs, puisqu'il donne un moyen de calculer le polynôme HOMFLY des tresses positives. On définit la longueur $\ell(b)$ d'une tresse positive b comme la longueur de n'importe quel mot de tresse positif représentant b.

Théorème 3.10. [14] *Il existe un arbre de calcul positif pour toute tresse positive marquée.*

Démonstration. Soit (b, n) une tresse positive marquée. La preuve se fait par récurrence sur la longueur $\ell(b)$. Si b est de longueur nulle, alors la tresse b est triviale, et l'arbre n'ayant qu'un sommet étiqueté (b, n) convient.

Sinon, on utilise le lemme 3.9 : la tresse positive marquée (b, n) peut être convertie par une suite de transformations de Markov positives en (b', n'), où b' est soit la tresse triviale, soit de la forme $b''\sigma_i^2$ avec b'' positive. Dans le premier cas, la tresse b' est elle-même triviale et l'arbre n'ayant qu'un sommet étiqueté (b, n) convient. Dans le second cas, on utilise un scindement de Conway sur un des deux croisements σ_i, et les deux fils sont alors étiquetés $(b''\sigma_i, n')$ et (b'', n'). Par construction, les tresses positives $b''\sigma_i$ et b'' ont une longueur strictement inférieure à celle de b, donc, par hypothèse de récurrence, on peut compléter l'arbre de calcul sous les sommets étiquetés $(b''\sigma_i, n')$ et (b'', n'), et, de là, sous (b, n). □

3.3. **Une variante du polynôme HOMFLY.** Dans la démonstration du théorème 3.10, toutes les branches gauches de l'arbre construit sont étiquetées $-x^{-1}y$ et toutes les branches droites $-x^{-2}$. Introduisons alors une variante du polynôme HOMFLY qui se comporte bien vis-à-vis des tresses marquées et des arbres de calcul positifs.

Proposition 3.11. (i) *Pour toute tresse positive marquée* (b, n)*, il existe un polynôme* $J_{(b,n)}(R, C, T)$ *à coefficients entiers positifs vérifiant*

$$P_{(b,n)}(x, y) = J_{(b,n)}\left(-x^{-2}, -x^{-1}y, -\frac{x + x^{-1}}{y}\right). \tag{3.7}$$

(ii) *Si on donne à* R*,* C *et* T *les degrés* 1*,* 2 *et* -1 *respectivement, alors* $J_{(b,n)}(R, C, T)$ *est homogène de degré* $\ell(b) - n + 1$*,*

(iii) *Le polynôme* $J_{(b,n)}$ *ne dépend que de la classe d'isotopie de la clôture de* (b, n)*.*

(iv) *Si* q *est le nombre de composantes de la clôture de* (b, n)*, alors on a* $J_{(b,n)}(0, C, T) = C^p T^{q-1}$*, où* p *est un entier.*

(v) *Le degré en* T *de* $J_{(b,n)}(R, C, T)$ *est strictement inférieur à l'indice de tresse de* b*.*

Démonstration. Nous reprenons les arbres de calcul positifs construits plus haut, mais en modifiant l'étiquetage des arêtes. Soit (b, n) une tresse positive marquée. Soit $\mathcal{A}$ un arbre de calcul positif pour (b, n), construit selon le procédé décrit dans la démonstration du théorème 3.10. Par construction, toutes les arêtes allant vers un fils gauche de $\mathcal{A}$ sont étiquetées $-x^{-1}y$ et toutes les arêtes allant vers un fils droit sont étiquetées $-x^{-2}$. Remplaçons ces étiquettes par C et R respectivement. Notons $\mathcal{F}$ l'ensemble des feuilles de $\mathcal{A}$. Définissons alors $j_f(R, C)$ comme le monôme produit de toutes les étiquettes R et C rencontrées le long du chemin allant de la racine à f. Enfin, posons

$$J_{(b,n)}(R, C, T) = \sum_{f \in \mathcal{F}} j_f(R, C) \cdot T^{n_f - 1}. \tag{3.8}$$

A priori, la valeur de $J_{(b,n)}$ dépend de l'arbre de calcul choisi. C'est seulement lorsque nous aurons démontré le point (iii) que nous en déduirons que $J_{(b,n)}$ ne dépend que de la clôture de (b, n).

Le point (i) se déduit immédiatement de la définition de J, puisque, pour le définir, on a repris les arbres de calcul positifs introduits pour calculer le polynôme HOMFLY, en remplaçant les $-x^{-2}$ par R, les $-x^{-1}y$ par C, et les $-\frac{x+x^{-1}}{y}$ par T. Or, pour toute feuille f dans $\mathcal{F}$, le nombre de brins n_f de l'étiquette est également le nombre de composantes du nœud (trivial) associé.

Démontrons le point (ii). Si on a une arête étiquetée C et reliant des sommets de $\mathcal{A}$ étiquetés respectivement (b_0, n_0) et (b_1, n_1), alors, par définition de l'arbre de calcul et des scindements de Conway, on a

$$\ell(b_1) - n_1 = \ell(b_0) - n_0 - 2 = \ell(b_0) - n_0 - \deg(C).$$

De même, si on a une arête étiquetée R, on a

$$\ell(b_1) - n_1 = \ell(b_0) - n_0 - 1 = \ell(b_0) - n_0 - \deg(R).$$

Par récurrence, si la racine de $\mathcal{A}$ est étiquetée (b, n) et si f est une feuille dont l'étiquette est une tresse triviale à n_f brins, on a

$$\ell(b) - n = \deg(j_f) - n_f = \deg\left(j_f \cdot T^{n_f - 1}\right) - 1.$$

Somme de monômes tous de même degré, $J_{(b,n)}(R, C, T)$ est donc homogène de degré $\ell(b) - n + 1$.

Démontrons maintenant le point (iii). Revenons aux arbres de calcul positifs calculant le polynôme HOMFLY. On remarque que, si f est une feuille de $\mathcal{A}$, on a l'égalité $\deg(j_f) = \deg_x(p_f)$. Or, si (b, n) est l'étiquette de la racine de $\mathcal{A}$ et si f est une feuille, on a

$$\ell(b) - n = \deg(j_f) - n_f = \deg_x(p_f) - n_f.$$

Par conséquent, il existe un exposant $s(f)$ vérifiant $p_f(x, y) = \pm y^{s(f)} x^{n - \ell(b) - n_f}$, d'où

$$p_f(x, y) \cdot \left(-\frac{x + x^{-1}}{y}\right)^{n_f - 1} = \pm y^{s(f) - n_f + 1} x^{n - \ell(b) + 1} (1 + x^{-2})^{n_f - 1}.$$

Posons $k = n - \ell(b) + 1$. Par définition d'un arbre de calcul positif, on a alors

$$P_{(b,n)}(x, y) = x^k \sum_{f\in\mathcal{F}} \pm y^{s(f)-n_f-1}(1 + x^{-2})^{n_f-1}.$$

Il existe par conséquent des entiers a_{ij} unique vérifiant

$$P_{(b,n)}(x, y) = \sum_{i,j} a_{ij}x^{k-j}y^{i+j}((x+x^{-1})/y)^j = \sum_{i,j}(-1)^{\frac{i-k}{2}} a_{ij}(-x^{-2})^{-\frac{i+k}{2}}(-y/x)^{i+j}(-(x+x^{-1})/y)^j.$$

En substituant $C = -x^{-2}, R = -y/x$ et $T = -(x + x^{-1})/y$, on obtient

$$P_{(b,n)}(x, y) = \sum_{i,j}(-1)^{\frac{i-k}{2}} a_{ij}R^{i+j}C^{-\frac{i+k}{2}}T^j. \tag{3.9}$$

Appelons $\tilde{J}(R, C, T)$ le polynôme du second membre de (3.9). Alors $\tilde{J}$ est homogène de degré $-k$ si on donne à R, C et T les poids $1, 2$ et -1 respectivement. Comme les a_{ij} ne dépendent que de $P_{(b,n)}$, le polynôme $\tilde{J}$ est l'unique polynôme homogène se spécialisant en $P_{(b,n)}$ lorsqu'on substitue $C = -x^{-2}, R = -y/x$ et $T = -(x + x^{-1})/y$. Or $J_{(b,n)}$ a les mêmes propriétés, donc les polynômes $J_{(b,n)}$ et $\tilde{J}$ coïncident. Par conséquent, $J_{(b,n)}$ ne dépend que du polynôme $P_{(b,n)}$, et donc *a fortiori* que de la clôture de (b, n).

Pour ce qui est de (iv), remarquons que la seule branche de l'arbre $\mathcal{A}$ ne comportant aucune étiquette R est la branche la plus à droite. Soit (b_0, n_0) l'étiquette d'un sommet de cette branche, et (b_1, n_1) l'étiquette de son fils droit. Alors, par construction de $\mathcal{A}$, il existe un entier i tel qu'on passe de b_0 à $b_1\sigma_i^2$ par des transformations de Markov positives. Ces transformations ne changent pas le nombre de composantes de la clôture, et, d'autre part, en supprimant un facteur σ_i^2 d'une tresse, on ne change pas non plus le nombre de composantes de sa clôture. Par conséquent, les clôtures de (b_0, n_0) et (b_1, n_1) ont le même nombre de composantes. De proche en proche, on en déduit que les nœuds associés à la racine et à la feuille la plus à droite de $\mathcal{A}$ ont le même nombre de composantes, d'où le point (iv).

Enfin, pour (v), on revient à la formule (3.8). Observons que l'exposant maximal de T dans $J_{(b,n)}$ est de la forme $n_f - 1$ pour une certaine feuille f de $\mathcal{A}$. Or, le nombre maximal de composantes d'un entrelacs associé à une feuille est borné par le nombre de brins d'une tresse ayant cet entrelacs pour clôture. Donc, partant d'une tresse marquée à n brins, notre construction d'arbre de calcul positif ne fait pas apparaître de tresse à plus de n brins, d'où le point (v). □

3.4. **Application au calcul de l'indice.** Les résultats précédents permettent de déterminer avec précision l'indice de tresse de la clôture de certaines tresses positives, en particulier des tresses de Birman-Williams.

Proposition 3.12. *Supposons que (b, n) est une tresse positive marquée et que $\mathcal{A}$ est un arbre de calcul positif dont tous les sommets sont étiquetés par des tresses positives. Alors, si $\mathcal{A}$ a un sommet étiqueté par une tresse dont la clôture a n composantes, l'indice de tresse de la clôture de (b, n) est n.*

Démonstration. Soit (b_0, n) le sommet de $\mathcal{A}$ dont l'entrelacs associé a n composantes. D'après le point (iv) du théorème 3.11, le polynôme à coefficients positifs $J_{(b_0,n)}$ a au moins un monôme dont l'exposant de T est égal à $n - 1$. Alors, en utilisant l'arbre de calcul $\mathcal{A}$, on déduit $J_{(b,n)} = P_1 J_{(b_0,n)} + P_2$, où P_1 et P_2 sont des polynômes à coefficients positifs. Par conséquent, $J_{(b,n)}$ a au moins un terme dont le degré en T est au moins égal à $n - 1$. D'après le point (v) de la proposition 3.11, l'indice de tresse de la clôture de (b, n) est au moins n. D'un autre côté, b est une tresse à n brins, donc l'indice de tresse de sa clôture est au plus n. De ces deux inégalités, on déduit que l'indice de tresse de la clôture de (b, n) est n exactement. □

Nous sommes maintenant prêts à démontrer le théorème 3.5.

Démonstration du théorème 3.5. D'après la proposition 3.12, il suffit de montrer que, pour toute tresse positive b à au plus t brins, il existe un arbre de calcul positif pour $(\Delta_t^2 b, t)$ contenant un sommet étiqueté (Δ_t^2, t). On procède par récurrence sur la longueur de b. Pour $b = 1$, le résultat est trivial. Supposons $b = \sigma_i b'$. On sait, voir par exemple [17], qu'il existe une tresse positive Δ' vérifiant $\Delta_t^2 = \Delta' \sigma_i$. On a alors $\Delta_t^2 b = \Delta' \sigma_i^2 b'$. Il existe donc un scindement de Conway de la tresse positive marquée (b, t) en les tresses positives marquées $(\Delta' \sigma_i b', t)$, c'est-à-dire $(\Delta_t^2 b', t)$, et $(\Delta' b', t)$. Comme la longueur de b' est strictement inférieure à celle de b, l'hypothèse de récurrence garantit qu'il existe un arbre de calcul positif $\mathcal{A}'$ pour $(\Delta_t^2 b', t)$ contenant un sommet étiqueté (Δ_t^2, t). Comme $\Delta' b'$ est une tresse positive, on peut compléter $\mathcal{A}'$ en un arbre de calcul positif pour $(\Delta_t^2 b, t)$, lequel contient un sommet étiqueté (Δ_t^2, t) puisqu'il inclut $\mathcal{A}'$. □

4. Nœuds de Lorenz, nœuds modulaires et théorie des nombres

Cette partie est consacrée au lien entre nœuds de Lorenz et nœuds modulaires. On y explique l'origine arithmétique de ces derniers à partir des classes de conjugaison dans $\mathrm{SL}_2(\mathbb{Z})$, on décrit la correspondance de Ghys, et on établit les résultats nouveaux annoncés dans l'introduction. Dans la section 4.1, nous déterminons des représentants des classes de conjugaison dans $\mathrm{SL}_2(\mathbb{Z})$. La section 4.2 est centrée sur la correspondance classique entre les classes de conjugaison précédentes et les classes d'idéaux dans un ordre d'un corps quadratique, suivant une présentation qui s'appuie sur le premier appendice de [7]. Nous introduisons la surface modulaire et les nœuds modulaires dans la section 4.3. C'est dans la section 4.4 que nous décrivons la correspondance de Ghys proprement dite. Puis, dans la section 4.5, nous rappelons la définition du groupe des classes. Enfin, c'est dans la section 4.6 que nous établissons les résultats sur les orbites triviales et inverses.

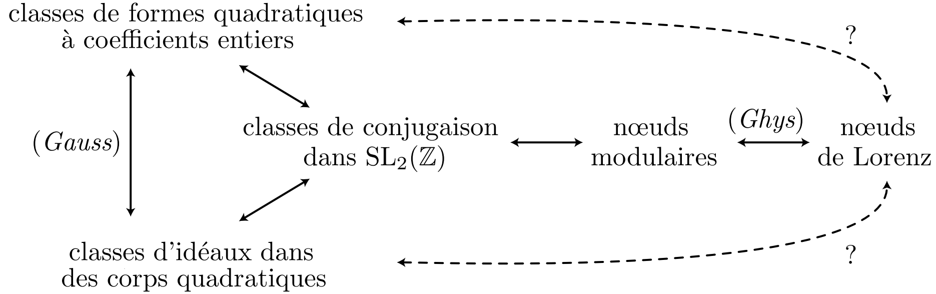


Fig. 4.1. Liens entre les nœuds de Lorenz et la théorie des nombres. L'existence d'un lien direct entre les nœœuds de Lorenz et les classes de formes quadratiques d'une part, et les classes d'idéaux d'autre part, reste hypothétique.

4.1. Classes de conjugaison dans $\mathrm{SL}_2(\mathbb{Z})$ sous l'action de $\mathrm{SL}_2^{\pm}(\mathbb{Z})$.

Nous commençons par un résultat préparatoire sur les matrices de $\mathrm{SL}_2(\mathbb{Z})$, à savoir la détermination des classes de conjugaison de matrices hyperboliques. On rappelle qu'une matrice de $\mathrm{SL}_2(\mathbb{Z})$ est dite *hyperbolique* si la valeur absolue de sa trace est strictement plus grande que 2.

Dans $\mathrm{SL}_2(\mathbb{R})$, les classes de conjugaison sont faciles à déterminer, puisque, à trace t fixée, il y a une classe de conjugaison si $|t| \geqslant 2$ et deux classes si $|t| < 2$ (les matrices de rotation $\mathrm{rot}(\theta)$ et $\mathrm{rot}(-\theta)$ ne sont pas conjuguées dans $\mathrm{SL}_2(\mathbb{R})$).

Proposition 4.1. [30] *Dans* $\mathrm{PSL}_2(\mathbb{Z})$*, on note a la classe contenant les deux matrices* $\pm\begin{pmatrix}0 & 1\\ -1 & 0\end{pmatrix}$ *et b la classe contenant* $\pm\begin{pmatrix}0 & 1\\ -1 & 1\end{pmatrix}$*. Alors le groupe* $\mathrm{PSL}_2(\mathbb{Z})$ *est engendré par a et b, avec les relations* $a^2 = b^3 = 1$*.*

Appelons *mot réduit* un mot en les lettres a et b ne contenant aucun sous-mot a^2 ou b^3. La proposition 4.1 implique que tout élément de $\mathrm{PSL}_2(\mathbb{Z})$ est représenté par un unique mot réduit[8].

Lemme 4.2. *Tout élément de* $\mathrm{PSL}_2(\mathbb{Z})$ *qui n'est conjugué ni à a, ni à b, ni à* b^2*, est conjugué, dans* $\mathrm{PSL}_2(\mathbb{Z})$*, à un élément dont le représentant réduit commence par b et finit par a.*

Démonstration. Soit g dans $\mathrm{PSL}_2(\mathbb{Z})$. Par conjugaison, on peut permuter cycliquement l'ordre des lettres du mot réduit associé. Si g a un représentant réduit contenant des lettres a et b, alors on peut en permuter les facteurs afin que b soit en tête, et a en queue. Sinon, les seuls mots réduits qui ne comportent pas à la fois des a et des b sont a, b et b^2. □

Posons $X = \begin{pmatrix}1 & 0\\ 1 & 1\end{pmatrix}$ et $Y = \begin{pmatrix}1 & 1\\ 0 & 1\end{pmatrix}$. On déduit du lemme 4.2 une caractérisation des classes de conjugaison hyperboliques de $\mathrm{SL}_2(\mathbb{Z})$.

Proposition 4.3. *Toute matrice de trace* > 2 *de* $\mathrm{SL}_2(\mathbb{Z})$ *est conjuguée, dans* $\mathrm{SL}_2(\mathbb{Z})$*, à un produit de matrices* X *et* Y *contenant au moins un facteur* X *et au moins un facteur* Y*, et ce produit est unique à permutation circulaire des facteurs près.*

Démonstration. Soit M une matrice de $\mathrm{SL}_2(\mathbb{Z})$ de trace > 2. La classe de X dans $\mathrm{PSL}_2(\mathbb{Z})$ est ba et celle de Y est b^2a. Par conséquent, d'après le lemme 4.2, il existe un produit P de matrices X et Y tel que M est conjuguée à $\pm P$. Or les traces de M et P sont positives, donc M est conjuguée à P.

D'autre part, pour tous m et n entiers, on a $tr(X^m) = tr(Y^n) = 2$. Or on a supposé $tr(M) > 2$. Donc P ne peut être ni de la forme X^m, ni de la forme Y^n, et il contient donc au moins un facteur X et au moins un facteur Y.

Si P' est obtenu à partir de P par permutation cyclique des lettres, P' est conjugué à P, et donc à M.

Enfin, l'unicité de P découle de l'unicité du représentant réduit du lemme 4.2. □

En rapprochant la proposition 4.3 de la proposition 1.9 affirmant que les orbites périodiques du flot de Lorenz sont représentées par les mots en deux lettres L et R, uniques à permutation cyclique des lettres près, on peut entrevoir un lien entre classes de conjugaison dans $\mathrm{SL}_2(\mathbb{Z})$ et nœuds de Lorenz. C'est ce lien qui sera explicité et approfondi dans la section 4.3.

Corollaire 4.4. *Les classes de conjugaison de matrices de trace* > 2 *de* $\mathrm{SL}_2(\mathbb{Z})$ *qui ne sont pas des puissances de matrices entières sont indexées par les mots de Lyndon.*

Dans la suite, nous allons considérer des classes un peu plus grosses que les classes de conjugaison par des matrices de $\mathrm{SL}_2(\mathbb{Z})$. On note $\mathrm{SL}_2^{\pm}(\mathbb{Z})$ l'ensemble des matrices à coefficients dans $\mathbb{Z}$ de déterminant ± 1. On s'intéresse à la conjugaison par des matrices de $\mathrm{SL}_2^{\pm}(\mathbb{Z})$. Il est évident que, si deux matrices sont conjuguées via des matrices de $\mathrm{SL}_2(\mathbb{Z})$, elles le sont via des matrices de $\mathrm{SL}_2^{\pm}(\mathbb{Z})$, puisque $\mathrm{SL}_2(\mathbb{Z})$ est un sous-groupe (d'indice 2) de $\mathrm{SL}_2^{\pm}(\mathbb{Z})$.

Proposition 4.5. *Toute matrice hyperbolique et de trace positive de* $\mathrm{SL}_2(\mathbb{Z})$ *est conjuguée, dans* $\mathrm{SL}_2^{\pm}(\mathbb{Z})$*, à un produit de* X *et de* Y *contenant au moins un facteur* X *et au moins un facteur* Y*, et ce produit est unique à permutation circulaire des facteurs près et à interversion des caractères* X *et* Y *près.*

[8]Autrement dit, le groupe $\mathrm{PSL}_2(\mathbb{Z})$ est isomorphe au produit libre $\mathbb{Z}2\mathbb{Z} * \mathbb{Z}/3\mathbb{Z}$.

Démonstration. Toute matrice de déterminant -1 est le produit d'une matrice de $\mathrm{SL}_2(\mathbb{Z})$ par la matrice $T = \begin{pmatrix} 0 & 1 \\ 1 & 0 \end{pmatrix}$. Donc il suffit de connaître le résultat de l'action de la matrice T par conjugaison sur X et Y pour adapter la proposition 4.3. Or on a $TXT^{-1} = Y$ et $TYT^{-1} = X$, donc conjuguer par T revient à intervertir les lettres X et Y. □

4.2. **Classes d'idéaux et classes de conjugaison.** Nous allons maintenant établir une correspondance classique en théorie des nombres entre classes d'idéaux d'un ordre dans un corps quadratique et classes de conjugaison de déterminant non nul dans $\mathrm{M}_2(\mathbb{Z})$ sous l'action de $\mathrm{SL}_2^{\pm}(\mathbb{Z})$. Les résultats s'étendent à des corps de degré supérieur et des matrices de taille supérieure. Cependant, ils s'énoncent plus facilement dans le cas de la taille 2 qui nous intéresse ici.

Un *corps quadratique* est un corps de la forme $\mathbb{Q}[\alpha]$ avec α nombre algébrique de degré 2. L'*anneau des entiers* $\mathcal{O}$ de $\mathbb{Q}[\alpha]$ est l'ensemble des éléments de $\mathbb{Q}[\alpha]$ admettant un polynôme minimal unitaire à coefficients entiers. Un *ordre* de $\mathcal{O}$ est un sous-anneau de $\mathcal{O}$ contenant l'élément 1 et non réduit à $\mathbb{Z}$.

Un résultat classique affirme que $\mathcal{O}$ est un réseau bidimensionnel de $\mathbb{Q}[\alpha]$, c'est-à-dire un $\mathbb{Z}$-module libre de rang 2 dans $\mathbb{Q}[\alpha]$. Un ordre est alors un sous-réseau bidimensionnel de $\mathcal{O}$ contenant 1.

Exemple 4.6. Dans le corps $\mathbb{Q}[\sqrt{5}]$, l'anneau des entiers est $\mathbb{Z}[\frac{1+\sqrt{5}}{2}]$. Deux exemples d'ordres sont $\mathbb{Z}[\sqrt{5}]$, qui est d'indice 2, et $\mathbb{Z}[\frac{1+3\sqrt{5}}{2}]$, qui est d'indice 3.

Un *idéal* $\mathcal{I}$ d'un ordre o est un sous-groupe additif de o stable par multiplication par les éléments de o. Si (ω_1, ω_2) est une $\mathbb{Z}$-base de o, alors tout idéal $\mathcal{I}$ de o admet une $\mathbb{Z}$-base (α_1, α_2) où α_1 et α_2 sont deux éléments du réseau engendré par ω_1 et ω_2. Dans la suite, on spécifiera la plupart du temps un idéal par une $\mathbb{Z}$-base qui l'engendre.

Un idéal $\mathcal{I}$ d'un ordre o est dit *principal* s'il existe un élément a dans $\mathcal{I}$ tel que $\mathcal{I}$ est exactement l'ensemble des multiples de a par des éléments de o. On note alors (a) cet idéal. Soit $\mathcal{I}, \mathcal{I}'$ deux idéaux de o. On dit que $\mathcal{I}$ et $\mathcal{I}'$ sont dans la même *classe* s'il existe a, a' dans o vérifiant $(a)\mathcal{I} = (a')\mathcal{I}'$. Il s'agit d'une relation d'équivalence entre idéaux. Par exemple, la classe de l'idéal (1) est l'ensemble des idéaux principaux de o. Le résultat principal de cette section est le suivant.

Proposition 4.7. [7] *Soit $P(x) = x^2 - t.x + d$ un polynôme irréductible à coefficients entiers, et soit α une racine de P. Alors il existe une bijection entre les classes de conjugaison sous l'action de $\mathrm{SL}_2^{\pm}(\mathbb{Z})$ de matrices A de $\mathrm{M}_2(\mathbb{Z})$ vérifiant $P(A) = 0$ d'une part, et les classes d'idéaux de l'ordre $\mathbb{Z}[\alpha]$ d'autre part.*

Démonstration. Soit A dans $\mathrm{M}_2(\mathbb{Z})$ vérifiant $P(A) = 0$. Alors A admet α et d/α pour valeurs propres et P pour polynôme caractéristique. Soit v un vecteur propre de A associé à la valeur propre α. Le vecteur v est unique à multiplication par un scalaire près et peut être choisi dans $\mathbb{Z}[\alpha]^2$. On note (α_1, α_2) ses coordonnées. Alors, par définition, on a $A\begin{pmatrix} \alpha_1 \\ \alpha_2 \end{pmatrix} = \alpha \begin{pmatrix} \alpha_1 \\ \alpha_2 \end{pmatrix}$. Par conséquent, pour tout polynôme Q à coefficients entiers, on a $Q(A)\begin{pmatrix} \alpha_1 \\ \alpha_2 \end{pmatrix} = Q(\alpha)\begin{pmatrix} \alpha_1 \\ \alpha_2 \end{pmatrix}$. Donc (α_1, α_2) est une $\mathbb{Z}$-base pour un certain idéal $\mathcal{I}_v$ de $\mathbb{Z}[\alpha]$.

Si v' est un autre vecteur propre associé à la valeur propre α dont les coordonnées sont dans $\mathbb{Z}[\alpha]$, alors on a $v' = \lambda v$ pour un certain λ dans $\mathbb{Z}[\alpha]$, et donc l'idéal associé est $(\lambda)\mathcal{I}_v$. La classe de $\mathcal{I}_v$ ne dépend donc que de A. On note cette classe $\Phi(A)$.

Si A' est conjuguée à A par une matrice M de $\mathrm{SL}_2^{\pm}(\mathbb{Z})$, alors le vecteur $M^{-1}v$ est un vecteur propre associé à la valeur propre α de A'. Comme M est de déterminant ± 1, l'idéal $\mathcal{I}_{M^{-1}v}$ est égal à $\mathcal{I}_v$, mais la base associée est différente. La classe $\Phi(A)$ ne dépend donc que de la classe de

conjugaison de A sous l'action de $\mathrm{SL}_2^{\pm}(\mathbb{Z})$. Donc Φ induit une application bien définie, également notée Φ dans la suite, de l'ensemble des classes de conjugaison de matrices A vérifiant $P(A) = 0$ vers les classes d'idéaux de l'ordre $\mathbb{Z}[\alpha]$.

Dans l'autre direction, soit $\mathcal{I}$ un idéal de $\mathbb{Z}[\alpha]$ et (β_1, β_2) une base de $\mathcal{I}$. Comme $\mathcal{I}$ est stable par multiplication par α, il existe une matrice B dans $\mathrm{M}_2(\mathbb{Z})$ vérifiant $B\begin{pmatrix}\beta_1\\ \beta_2\end{pmatrix} = \alpha\begin{pmatrix}\beta_1\\ \beta_2\end{pmatrix}$. Par conséquent, B admet α pour valeur propre et $\begin{pmatrix}\beta_1\\ \beta_2\end{pmatrix}$ pour vecteur propre associé. Comme la trace de B est entière, l'autre valeur propre α' de B est égale à $n - \alpha$, pour un certain n dans $\mathbb{Z}$. On a alors

$$\det B = \alpha(n - \alpha) = n\alpha - \alpha^2 = n\alpha - (t\alpha - d).$$

Or $\det B$ est entier, ce qui entraîne $n - t = 0$, et donc α' est le conjugué de α. Par conséquent, la matrice B vérifie $P(B) = 0$.

Si on choisit une autre base (β_1', β_2') de $\mathcal{I}$, alors il existe T dans $\mathrm{SL}_2^{\pm}(\mathbb{Z})$ vérifiant $(\beta_1', \beta_2') = T\begin{pmatrix}\beta_1\\ \beta_2\end{pmatrix}$. La matrice associée est alors TBT^{-1}. La classe de conjugaison de B ne dépend donc que de $\mathcal{I}$. On note cette classe de conjugaison $\Psi(\mathcal{I})$.

Si on choisit un autre idéal $\mathcal{I}'$ dans la classe de $\mathcal{I}$, on vérifie également que la matrice associée à toute base de $\mathcal{I}'$ est dans $\Psi(\mathcal{I})$.

On a ainsi construit deux applications Φ et Ψ entre classes de conjugaison dans $\mathrm{M}_2(\mathbb{Z})$ sous l'action de $\mathrm{SL}_2^{\pm}(\mathbb{Z})$ et classes d'idéaux dans des corps quadratiques. La définition de Ψ montre immédiatement que Φ et Ψ sont inverses l'une de l'autre. □

Exemple 4.8. Considérons les matrices de trace 10 et de déterminant 1. Le polynôme du second degré correspondant est $P(x) = x^2 - 10x + 1$, dont les racines sont $5 + 2\sqrt{6}$ et $5 - 2\sqrt{6}$. Le corps quadratique associé est $\mathbb{Q}[\sqrt{6}]$, dont l'anneau des entiers est $\mathbb{Z}[\sqrt{6}]$. Nous nous intéressons ici à l'ordre $\mathbb{Z}[2\sqrt{6}]$ et à ses classes d'idéaux. Une énumération systématique des mots en X et Y montre qu'il y a trois classes de conjugaison de matrices entières de trace 10 et de déterminant 1, correspondant aux mots X^8Y, X^4Y^2, et X^2YXY. Par la propriété 4.7, il y a donc trois classes d'idéaux dans l'ordre $\mathbb{Z}[2\sqrt{6}]$.

La question est maintenant de calculer effectivement la bijection Φ de la proposition 4.7, à savoir, à partir des matrices, de calculer des éléments des classes d'idéaux correspondants. Une notion adaptée à cette fin est la suivante.

Définition 4.9. Soit o un ordre de base (ω_1, ω_2) et $\mathcal{I}$ un idéal de o de base (α_1, α_2). Une matrice M dans $\mathrm{M}_2(\mathbb{Z})$ est dite *idéale* pour $\mathcal{I}$ par rapport aux bases précédentes si on a $M\begin{pmatrix}\omega_1\\ \omega_2\end{pmatrix} = \begin{pmatrix}\alpha_1\\ \alpha_2\end{pmatrix}$.

Proposition 4.10. *Soit $P(x) = x^2 - t.x + d$ un polynôme unitaire irréductible et α une racine de P. Alors toute matrice A dans $\mathrm{SL}_2(\mathbb{Z})$ vérifiant $P(A) = 0$ est de la forme $A = X_{\mathcal{I}}C_PX_{\mathcal{I}}^{-1}$, où $X_{\mathcal{I}}$ est une matrice idéale pour un idéal $\mathcal{I}$ appartenant à $\Phi(A)$ et où C_P est la matrice compagnon $\begin{pmatrix}0 & 1\\ -d & t\end{pmatrix}$ du polynôme P. Réciproquement, toute matrice X dans $\mathrm{M}_2(\mathbb{Z})$ vérifiant $X^{-1}AX = C_P$ est la matrice idéale d'un idéal appartenant à $\Phi(A)$.*

Démonstration. Par définition de α, on a $\alpha\begin{pmatrix}1\\ \alpha\end{pmatrix} = \begin{pmatrix}\alpha\\ t\alpha - d\end{pmatrix}$, donc, par la démonstration de la proposition 4.7, la matrice C_P est la matrice de $\Psi\big((1)\big)$ associée à la base $(1, \alpha)$ de l'idéal (1).

Soit A une matrice de $\mathrm{SL}_2(\mathbb{Z})$ annulant P. On lui a associé dans la démonstration de la proposition 4.7 une base (α_1, α_2) d'un idéal $\mathcal{I}$ appartenant à $\Phi(A)$. Par définition, la matrice idéale $X_{\mathcal{I}}$

correspondante, relativement aux bases $(1,\alpha)$ de $\mathbb{Z}[\alpha]$ et (α_1,α_2) de $\mathcal{I}$, vérifie $X_{\mathcal{I}}\begin{pmatrix}1\\\alpha\end{pmatrix}=\begin{pmatrix}\alpha_1\\\alpha_2\end{pmatrix}$. On a donc $X_{\mathcal{I}}^{-1}\begin{pmatrix}\alpha_1\\\alpha_2\end{pmatrix}=\begin{pmatrix}1\\\alpha\end{pmatrix}$, d'où $C_PX_{\mathcal{I}}^{-1}\begin{pmatrix}\alpha_1\\\alpha_2\end{pmatrix}=C_P\begin{pmatrix}1\\\alpha\end{pmatrix}=\alpha\begin{pmatrix}1\\\alpha\end{pmatrix}$, et donc

$$X_{\mathcal{I}}C_PX_{\mathcal{I}}^{-1}\begin{pmatrix}\alpha_1\\\alpha_2\end{pmatrix}=\alpha X_{\mathcal{I}}\begin{pmatrix}1\\\alpha\end{pmatrix}=\alpha\begin{pmatrix}\alpha_1\\\alpha_2\end{pmatrix}.$$

Par conséquent, on a $A=X_{\mathcal{I}}C_PX_{\mathcal{I}}^{-1}$, comme annoncé.

Pour la réciproque, soit (α_1,α_2) une base de l'idéal correspondant à A. On a alors $A\begin{pmatrix}\alpha_1\\\alpha_2\end{pmatrix}=\alpha\begin{pmatrix}\alpha_1\\\alpha_2\end{pmatrix}$. Soit X vérifiant $X^{-1}AX=C$. On a donc $XCX^{-1}\begin{pmatrix}\alpha_1\\\alpha_2\end{pmatrix}=\alpha\begin{pmatrix}\alpha_1\\\alpha_2\end{pmatrix}$, d'où $CX^{-1}\begin{pmatrix}\alpha_1\\\alpha_2\end{pmatrix}=\alpha X^{-1}\begin{pmatrix}\alpha_1\\\alpha_2\end{pmatrix}$. Comme α est une valeur propre simple de C, le vecteur $X^{-1}\begin{pmatrix}\alpha_1\\\alpha_2\end{pmatrix}$ est propre, et donc il existe p,q dans $\mathbb{Q}(\alpha)$ vérifiant $X^{-1}\begin{pmatrix}\alpha_1\\\alpha_2\end{pmatrix}=\frac{p}{q}\begin{pmatrix}1\\\alpha\end{pmatrix}$, soit $X^{-1}\begin{pmatrix}q\alpha_1\\q\alpha_2\end{pmatrix}=\begin{pmatrix}p\\p\alpha\end{pmatrix}$, d'où $\begin{pmatrix}q\alpha_1\\q\alpha_2\end{pmatrix}=X\begin{pmatrix}p\\p\alpha\end{pmatrix}$. Par conséquent, X est la matrice idéale de l'idéal $(q\alpha_1,q\alpha_2)$, lequel appartient à la classe $\Phi(A)$. □

Remarque 4.11. La démonstration de la proposition 4.10 montre en particulier que la classe des idéaux principaux de $\mathbb{Z}[\alpha]$ correspond à la classe de matrices contenant la matrice compagnon C_P du polynôme caractéristique P de α. Dans le cas $P(x)=x^2-t.x+1$, la classe des idéaux principaux correspond également à la classe de matrices engendrée par la matrice $X^{t-2}Y$, puisque $X^{t-2}Y$ est conjuguée à C_P par la matrice $\begin{pmatrix}1&0\\-1&1\end{pmatrix}$, qui est dans $\mathrm{SL}_2^{\pm}(\mathbb{Z})$.

Exemple 4.12. Revenons aux matrices de trace 10 et de déterminant 1, lesquelles sont représentées par les mots X^8Y, X^4Y^2, et X^2YXY. Les matrices associées à ces mots sont $\begin{pmatrix}1&1\\8&9\end{pmatrix}$, $\begin{pmatrix}1&2\\4&9\end{pmatrix}$, et $\begin{pmatrix}2&3\\5&8\end{pmatrix}$. Or on vient de voir que la classe de la matrice $\begin{pmatrix}1&1\\8&9\end{pmatrix}$ correspond à la classe des idéaux principaux, donc $\begin{pmatrix}1&2\\4&9\end{pmatrix}$ et $\begin{pmatrix}2&3\\5&8\end{pmatrix}$ correspondent aux deux classes d'idéaux non principaux. Comme les matrices conjuguant ces deux éléments à C_P sont $\begin{pmatrix}2&0\\-1&1\end{pmatrix}$ et $\begin{pmatrix}3&0\\-1&1\end{pmatrix}$, et que la base de $\mathbb{Z}[2\sqrt{6}]$ associée à C_P est $(1,\alpha)=(1,5+2\sqrt{6})$, on en déduit au passage que les idéaux $(2,4+2\sqrt{6})$ et $(3,4+2\sqrt{6})$ sont représentants des deux classes d'idéaux non principaux de $\mathbb{Z}[2\sqrt{6}]$.

4.3. **Nœuds modulaires et classes de conjugaison.** Dans [19] et [20], É. Ghys démontre, et illustre visuellement, que les nœuds de Lorenz apparaissent comme orbites périodiques du flot modulaire défini sur la variété $\mathrm{SL}_2(\mathbb{R})/\mathrm{SL}_2(\mathbb{Z})$. Pour expliquer ce résultat, nous allons commencer par décrire la variété et le flot modulaires en termes de réseaux.

Un réseau du plan est dit *de covolume* 1 s'il admet une base orientée constituée de deux vecteurs dont la norme du produit vectoriel vaut 1. Un tel réseau est déterminé par les coordonnées des vecteurs d'une base comme ci-dessus, donc par une matrice A de $\mathrm{SL}_2(\mathbb{R})$. De plus, changer la base (ordonnée) du réseau revient à conjuguer A par un élément de $\mathrm{SL}_2(\mathbb{Z})$. La correspondance obtenue entre les réseaux de covolume 1 et le quotient $\mathrm{SL}_2(\mathbb{R})/\mathrm{SL}_2(\mathbb{Z})$ se trouve alors être bijective.

Maintenant, soit $\mathcal{H}$ le demi-plan de Poincaré muni de sa métrique hyperbolique standard. L'action de $\mathrm{PSL}_2(\mathbb{Z})$ sur $\mathcal{H}$ par homographie définie par

$$\begin{pmatrix} a & b \\ c & d \end{pmatrix} . \, z = \frac{az+b}{cz+d}$$

est fidèle. Un domaine fondamental $\mathcal{D}$ pour cette action est donné par

$$\{z \in \mathbb{C} \mid \Im z > 0, -1/2 \leqslant \Re z \leqslant 1/2, |z| \geqslant 1\}\,.$$

Le quotient $\mathcal{H}/\mathrm{PSL}_2(\mathbb{Z})$ est alors un orbifold compact, c'est-à-dire une surface avec deux points singuliers (correspondant aux images des points i et j) au voisinage desquels l'angle total n'est pas 2π mais respectivement $2\pi/2$ et $2\pi/3$. Cet orbifold, qui n'est donc pas une surface à proprement parler, est traditionnellement appelé *surface modulaire* et noté Σ_{mod} dans la suite. Il hérite de la métrique hyperbolique de $\mathcal{H}$. Le fibré unitaire tangent $U\Sigma_{mod}$ à la surface modulaire est alors une variété de dimension 3, naturellement munie d'une métrique riemannienne g.

Soit Λ un réseau de covolume 1 dans le plan complexe. Nous allons lui associer un point de $U\Sigma_{mod}$. Il existe une simillitude directe envoyant le plus petit vecteur v de Λ, défini au signe près, sur le point 1. Le double θ de l'angle de la simillitude fournit alors un élément bien défini de $\mathbb{S}^1$. Le plus petit vecteur v' formant une base directe avec v est envoyé sur un point p de $\mathcal{D}$. Si Λ est un réseau à maille carrée ou triangulaire équilatérale, l'application est mal définie : v est défini à multiplication par une racine de l'unité près, et donc l'angle de la rotation n'est défini qu'à $\pi/2$ (cas d'une maille carrée) ou $\pi/3$ près (cas d'une maille triangulaire). Ces ambiguïtés disparaissent si on passe au quotient de $\mathcal{D}$ par $\mathrm{PSL}_2(\mathbb{Z})$, lequel s'identifie à $\mathcal{H}/\mathrm{PSL}_2(\mathbb{Z})$. Le vecteur v' est alors envoyé sur le point i (maille carrée) ou sur les points j ou $j+1$, lesquels sont identifiés dans le quotient (maille triangulaire équilatérale). L'application qui associe au réseau Λ le couple (p,θ) dans $U\Sigma_{mod}$ établit donc une correspondance entre l'espace des réseaux (lui-même déjà identifié à $\mathrm{SL}_2(\mathbb{R})/\mathrm{SL}_2(\mathbb{Z})$) et le fibré tangent unitaire à l'orbifold $\mathcal{H}/\mathrm{PSL}_2(\mathbb{Z})$.

Soit Λ un réseau de $\mathbb{R}^2$ de covolume 1 et (b_1, b_2) une base de Λ. Pour tout t, les vecteurs $b_{1t} = \begin{pmatrix} e^t & 0 \\ 0 & e^{-t} \end{pmatrix} b_1$ et $b_{2t} = \begin{pmatrix} e^t & 0 \\ 0 & e^{-t} \end{pmatrix} b_2$ forment encore une base d'un réseau de covolume 1, lequel ne dépend que de Λ. On définit $\phi^t(\Lambda)$ comme le réseau engendré par les vecteurs b_{1t} et b_{2t}. Le flot ϕ est appelé *flot modulaire* sur l'espace des réseaux de covolume 1, donc aussi, vue l'identification ci-dessus, sur la variété $U\Sigma_{mod}$. On montre que ce flot est également le flot géodésique associé à la métrique g sur $U\Sigma_{mod}$ [19].

Si les vecteurs b_{1t_0} et b_{2t_0} appartiennent au réseau Λ, alors on a $\phi^{t_0}(\Lambda) = \Lambda$ et l'application $t \mapsto \phi^t(\Lambda)$ restreinte à l'intervalle $[0, t_0]$ définit un lacet fermé dans $U\Sigma_{mod}$, et donc un nœud dans ce même espace. Le résultat suivant décrit les circonstances où un tel événement se produit et annonce la correspondance de Ghys.

Proposition 4.13. *Il existe une bijection entre les orbites périodiques du flot modulaire et les mots de Lyndon.*

Esquisse de la démonstration. Comme le flot modulaire coïncide avec le flot géodésique sur le quotient $\mathcal{H}$ par $\mathrm{PSL}_2(\mathbb{Z})$, une orbite modulaire périodique provient d'une géodésique λ de $\mathcal{H}$ qui est invariante sous l'action d'un certain élément A de $\mathrm{PSL}_2(\mathbb{Z})$. Quand on passe au quotient $\mathcal{H}/\mathrm{PSL}_2(\mathbb{Z})$, cette géodésique λ devient invariante sous l'action de toute la classe de conjugaison de A dans $\mathrm{SL}_2(\mathbb{Z})$. Réciproquement, les seuls éléments de $\mathrm{PSL}_2(\mathbb{Z})$ fixant λ sont les conjuguées des puissances de A (éventuellement rationnelles si A est elle-même une puissance). Une orbite modulaire périodique est donc naturellement associée à une classe de conjugaison dans $\mathrm{SL}_2(\mathbb{Z})$ sous l'action de $\mathrm{SL}_2(\mathbb{Z})$, à savoir la classe de la plus petite puissance rationnelle positive de A

dans $\mathrm{SL}_2(\mathbb{Z})$. Or le corollaire 4.4 fournit une bijection entre les mots de Lyndon et les classes de conjugaison de matrices qui ne sont pas des puissances entières de matrice entières. □

On a maintenant obtenu de manière naturelle des nœuds sur le fibré unitaire tangent à la surface modulaire. Or celui-ci se trouve être isomorphe à la sphère $\mathbb{S}^3$ privée d'un nœud de trèfle. Pour expliciter cet isomorphisme, nous utilisons les coordonnées introduites par Gauss pour les réseaux de $\mathbb{R}^2$. Pour cela, identifions $\mathbb{R}^2$ avec $\mathbb{C}$, et posons

$$g_2(\Lambda) = 60 \sum_{z\in\Lambda\setminus\{0\}} z^{-4} \quad \text{et} \quad g_3(\Lambda) = 140 \sum_{z\in\Lambda\setminus\{0\}} z^{-6}.$$

On vérifie facilement que les sommes g_2 et g_3 convergent et que Λ est entièrement décrit par les valeurs des fonctions g_2 et g_3, c'est-à-dire que l'application $\Lambda \mapsto (g_2(\Lambda), g_3(\Lambda))$ est injective. De plus, la non-dégénérescence de Λ correspond à la condition $g_2^3 - 27g_3^2 \neq 0$. Enfin, le fait que Λ est de covolume 1 impose une condition de renormalisation sur $g_2(\Lambda)$ et $g_3(\Lambda)$. Quitte à changer de renormalisation, on peut supposer

$$|g_2(\Lambda)|^2 + |g_3(\Lambda)|^2 = 1. \tag{4.1}$$

Cette dernière condition permet d'identifier l'image de (g_2, g_3) à une partie de la sphère $\mathbb{S}^3$, qui est le complémentaire d'un nœud de trèfle, noté ♧ , dans $\mathbb{S}^3$. On a alors obtenu une bijection entre $\mathbb{S}^3\setminus$♧ et la variété modulaire $\mathrm{SL}_2(\mathbb{R})/\mathrm{SL}_2(\mathbb{Z})$. Elle nous permet donc de plonger les nœuds modulaires de manière naturelle dans $\mathbb{S}^3$. Consulter [28, p. 83] pour une preuve plus visuelle de ce résultat.

Définition 4.14. Un nœud est dit *modulaire* s'il peut être réalisé comme orbite périodique du flot modulaire sur $U\Sigma_{mod}$, plongé comme décrit ci-dessus dans $\mathbb{S}^3$.

4.4. **Nœuds modulaires et nœuds de Lorenz.** A ce point, nous avons introduits deux familles de nœuds, les nœuds de Lorenz et les nœuds modulaires, dont les éléments sont en bijection avec les mots de Lyndon. Le résultat de Ghys affirme que ces familles coïncident.

Théorème 4.15. [19, 20] *Identifions $U\Sigma_{mod}$ et $\mathbb{R}^3$ avec des parties de $\mathbb{S}^3$ comme ci-dessus. Alors, pour tout mot de Lyndon w, le nœud modulaire et le nœud de Lorenz associés à w coïncident.*

Schéma de la démonstration. L'idée principale est de déformer continûment la métrique sur Σ_{mod} et $U\Sigma_{mod}$ pour amener tout le flot géodésique au voisinage du segment reliant les images des points i et j de $\mathcal{H}$. En contractant la direction stable du flot, les orbites viennent alors s'accumuler sur un patron, qui se trouve être le patron de Lorenz. □

Pour plus de détails, nous renvoyons à [19], et à [20] où l'on trouvera des représentations animées très spectaculaires.

Exemple 4.16. Revenons au cas des idéaux de $\mathbb{Z}[2\sqrt{6}]$. On a vu qu'il y a trois classes d'idéaux, dont trois représentants sont $(1, 5+2\sqrt{6}), (2, 4+2\sqrt{6})$, et $(3, 4+2\sqrt{6})$. Les trois nœuds modulaires associés sont les nœuds correspondants aux mots X^8Y, X^4Y^2, et X^2YXY, lesquels se trouvent respectivement être un nœud trivial, un nœud trivial, et un nœud de trèfle.

4.5. **Nœuds de Lorenz et classes d'idéaux.** On a maintenant une application naturelle associant à une classe d'idéaux dans un ordre d'un corps quadratique une unique classe de mots en X et Y, définis à permutation circulaire des lettres et à échange des caractères X et Y près. Or on ne change pas un nœud de Lorenz en échangeant tous les caractères L et R dans le mot de Lyndon associé : cela correspond à une rotation autour de l'axe horizontal passant par le centre du patron et échangeant les deux attracteurs, ou encore à une rotation de 180° de la tresse de Lorenz autour d'une axe vertical. On a donc une bijection entre classes d'idéaux dans certains corps quadratiques

et nœuds de Lorenz, modulo symétrie du patron. La question est alors de savoir si l'existence de cette bijection entraîne des applications intéressantes.

Celles-ci pourraient venir de la structure de groupe qui existe naturellement sur les classes d'idéaux dans un corps quadratique. Précisément, soit $\mathbb{Q}[\alpha]$ un corps quadratique, $\mathcal{O}$ son anneau des entiers, o un ordre d'indice n dans $\mathcal{O}$, et $\mathcal{I}_1$ et $\mathcal{I}_2$ deux idéaux de o. Alors la classe de l'idéal $\mathcal{I}_1\mathcal{I}_2$ ne dépend pas du choix de $\mathcal{I}_1$ et $\mathcal{I}_2$ dans leurs classes respectives. Par conséquent, l'opération de multiplication est bien définie sur les classes d'idéaux. On vérifie facilement que la classe des idéaux principaux est un élément neutre pour cette opération, donc l'ensemble des classes d'idéaux forme un monoïde. De plus, toute classe contenant au moins un idéal $\mathcal{I}$ dont la norme $N(\mathcal{I})$ est première avec l'indice n admet un inverse pour la multiplication, c'est-à-dire qu'il existe $\mathcal{I}'$ tel que $\mathcal{I}\mathcal{I}'$ est un idéal principal, voir [8, page 122]. L'ensemble de ces classes est stable par produit, par conséquent l'ensemble des classes contenant au moins un idéal $\mathcal{I}$ dont la norme est première avec n forme un groupe, appelé *groupe des classes* de l'ordre o.

Exemple 4.17. Revenons une dernière fois aux idéaux de $\mathbb{Z}[2\sqrt{6}]$. L'idéal $(1, 5+2\sqrt{6})$ est principal, c'est donc un représentant de la classe des idéaux principaux. Pour ce qui est de $(2, 4+2\sqrt{6})$, on vérifie facilement que tout élément de sa classe a une norme qui est multiple de 2. Or l'indice de $\mathbb{Z}[2\sqrt{6}]$ dans $\mathbb{Z}[\sqrt{6}]$ est 2, donc la classe de $(2, 4+2\sqrt{6})$ n'appartient pas au groupe des classes de $\mathbb{Z}[2\sqrt{6}]$. De fait, on vérifie l'égalité $(2, 4+2\sqrt{6})^2 = (2)(2, 4+2\sqrt{6})$, donc, si cette classe était dans le groupe des classes, elle en serait l'élément neutre. Or cette position est déjà occupée par la classe des idéaux principaux. Quant à $(3, 4+2\sqrt{6})$, sa norme est 3, qui est premier avec 2, donc sa classe appartient au groupe des classes. Le groupe des classes de $\mathbb{Z}[2\sqrt{6}]$ est donc $\mathbb{Z}/2\mathbb{Z}$. Notons que, dans la correspondance de Ghys, le nœud associé à l'élément neutre est le nœud trivial et le nœud associé à l'autre élément est le nœud de trèfle.

Pour un autre exemple, considérons les matrices de trace 22 et de déterminant 1. L'ordre associé est $\mathbb{Z}[2\sqrt{30}]$, qui compte six classes d'idéaux, correspondant aux matrices $X^{20}Y, X^{10}Y^2$, X^5Y^4, X^6YXY, X^4YX^2Y, et $X^2YX^2Y^2$. Les nœuds associés sont le nœud trivial pour les trois premières classes, le nœud de trèfle pour les deux suivantes, et le nœud torique $(5, 2)$ pour la dernière. Le groupe des classes de $\mathbb{Z}[2\sqrt{30}]$ a quatre éléments, car les classes correspondant aux mots $X^{10}Y^2$ et X^4YX^2Y ne sont pas inversibles. Ce groupe est le groupe de Klein $(\mathbb{Z}/2\mathbb{Z})^2$. Vis-à-vis de la correspondance de Ghys, l'élément neutre a pour nœud associé le nœud trivial, et les trois autres éléments du groupe sont associés respectivement au nœud trivial, au nœud de trèfle et au nœud torique $[5, 2]$.

4.6. **Deux résultats nouveaux.** Comme on a associé à chaque classe d'idéaux un nœud de manière canonique, la question se pose naturellement de savoir si la multiplication du groupe des classes d'idéaux a un pendant du côté des nœuds, c'est-à-dire si on peut définir directement une opération de multiplication des nœuds et, par exemple, mieux comprendre les observations de l'exemple 4.17. Les seules réponses connues à ce jour, très partielles, sont les résultats suivants, qui semblent nouveaux.

Le premier résultat décrit complètement le sous-groupe du groupe des classes d'idéaux formé par les classes associées au nœud trivial. On note $\wedge$ l'opération de pgcd de deux entiers et $\vee$ leur ppcm.

Théorème 4.18. *Soit $t > 2$ un entier, α une racine du polynôme $x^2 - t.x + 1$, et G le groupe des classes associé à l'ordre $\mathbb{Z}[\alpha]$. L'ensemble des éléments de G associés au nœud trivial forme un sous-groupe G_0 de G qui est isomorphe à $\mathbb{Z}/2\mathbb{Z}^d$ où d est le nombre de diviseurs premiers de $t-2$ diminué d'une unité. Les matrices correspondant aux éléments de G_0 sont de la forme $X^mY^{m'}$ avec $mm' = t-2$ et $m \wedge m' = 1$. Exprimée en termes de matrices, la multiplication de G_0 est*

donnée par la formule

$$X^{m_1}Y^{(t-2)/m_1} \cdot X^{m_2}Y^{(t-2)/m_2} = X^{m_3}Y^{(t-2)/m_3}, \quad \textit{avec } m_3 = \frac{m_1 \vee m_2}{m_1 \wedge m_2}.$$

Démonstration. Le nœud trivial étant le seul nœud obtenu comme clôture d'une tresse à un brin, c'est le seul nœud de Lorenz de pas 1. Par conséquent, les orbites triviales du flot de Lorenz sont exactement celles qui sont associées aux mots de la forme $X^mY^{m'}$.

Comme inverser dans le groupe des classes revient à transposer la matrice, les classes correspondant aux mots $X^mY^{m'}$ et $X^{m'}Y^m$ sont inverses l'une de l'autre. Or ces classes coïncident, puisqu'au niveau des idéaux l'échange des caractères X et Y et la permutation circulaire des lettres ne modifient pas la classe. Par conséquent, ces classes sont d'ordre 2 dans le groupe des classes G.

L'ordre associé aux matrices de trace t est $\mathbb{Z}[\alpha]$, où $\alpha = \frac{-t+\sqrt{t^2-4}}{2}$, et l'idéal associé à la matrice $X^mY^{m'}$, qui vaut $\begin{pmatrix} 1 & m \\ m' & 1+mm' \end{pmatrix}$, est $(m, \alpha - 1)$. D'après [6, page 220], la forme quadratique associée est $mx^2 + mm'xy + m'y^2$, et, d'après la proposition 5.2.5 de [6], la condition pour qu'un idéal soit inversible est que les coefficients de la forme quadratique associée soient premiers entre eux, soit, dans le cas présent, $m \wedge m' = 1$. Les nœuds triviaux apparaissant dans le groupe des classes correspondent donc aux mots de la forme $X^mY^{m'}$, avec $mm' = t - 2$ et $m \wedge m' = 1$.

Il reste à vérifier la stabilité par produit des éléments associés à des nœuds triviaux, et la forme explicite du produit annoncée. Calculant au niveau des (bases d')idéaux, on trouve

$$\begin{aligned}
&(m_1, \alpha - 1) \cdot (m_2, \alpha - 1) \\
&\qquad = \big(m_1m_2, m_1(\alpha - 1), m_2(\alpha - 1), \alpha^2 - 2\alpha + 1\big) \\
&\qquad = ((m_1 \wedge m_2)(m_1 \vee m_2), (m_1 \wedge m_2)(\alpha - 1), (t-2)\alpha) \\
&\qquad = (m_1 \wedge m_2)\left((m_1 \vee m_2), (\alpha - 1), \frac{t-2}{m_1 \wedge m_2}\alpha\right).
\end{aligned}$$

Les diviseurs de $t - 2$ se divisent en quatre catégories : ceux qui ne divisent ni m_1 ni m_2 dont nous noterons le pgcd p_{--}, ceux qui divisent m_1 et pas m_2 dont nous noterons le pgcd p_{+-}, ceux qui divisent m_2 et pas m_1 dont nous noterons le pgcd p_{-+}, et ceux qui divisent m_1 et m_2 dont nous noterons le pgcd p_{++}. On a alors

$$m_1 \vee m_2 = p_{-+}p_{+-}p_{++} \quad \text{et} \quad \frac{t-2}{m_1 \wedge m_2} = p_{--}p_{-+}p_{+-},$$

d'où $(m_1 \vee m_2) \wedge \dfrac{t-2}{m_1 \wedge m_2} = p_{-+}p_{+-} = \dfrac{m_1 \wedge m_2}{m_1 \vee m_2}$. On en déduit

$$(m_1 \wedge m_2)\left((m_1 \vee m_2), (\alpha - 1), \frac{t-2}{m_1 \wedge m_2}\alpha\right) = (m_1 \wedge m_2)\left(\frac{m_1 \wedge m_2}{m_1 \vee m_2}, (\alpha - 1)\right).$$

Ce dernier idéal est dans la même classe que $\left(\dfrac{m_1 \wedge m_2}{m_1 \vee m_2}, (\alpha - 1)\right)$, dont la matrice idéale est

$$X^{\frac{m_1 \vee m_2}{m_1 \wedge m_2}} Y^{(t-2)\big/\frac{m_1 \vee m_2}{m_1 \wedge m_2}}.$$

□

Notre seconde observation est un résultat de symétrie très simple. Si w est un mot (de Lyndon), on appelle *image-miroir* de w le mot obtenu en renversant l'ordre des lettres de w.

Proposition 4.19. *Pour tout mot de Lyndon w, les nœuds de Lorenz correspondants à w et à son image-miroir sont les mêmes.*

Démonstration. Transposé en termes de nœuds modulaires, l'énoncé devient : les nœuds sur le fibré unitaire tangent à la surface modulaire $U\Sigma_{mod}$ qui correspondent au parcours dans un sens et dans l'autre d'une géodésique périodique de la surface modulaire Σ_{mod} sont les mêmes. Or, vis-à-vis de la métrique riemannienne g introduite au début de la section, l'involution i de $U\Sigma_{mod}$ qui associe au vecteur tangent v de $U_x\Sigma_{mod}$ le vecteur $-v$ de $U_x\Sigma_{mod}$ est une isométrie de $U\Sigma_{mod}$ préservant l'orientation. Par conséquent, i envoie tout lacet sur un lacet isotope, et les nœuds associés coïncident. □

Ce résultat montre l'intérêt de la correspondance de Ghys et du lien entre nœuds de Lorenz et nœuds modulaires. Sur le patron de Lorenz, une seule involution naturelle apparaît, à savoir la symétrie par rapport à l'axe du patron, qui correspond à la symétrie par rapport à la première diagonale sur les diagrammes de young associés. La proposition 4.19 révèle une autre symétrie sur les orbites du flot de Lorenz, naturelle dans le langage du fibré tangent $U\Sigma_{mod}$ à la surface modulaire, mais cachée sur le patron de Lorenz. Par exemple, elle montre que les orbites associées aux mots de Lyndon $LLRRLRRR$ et $LLRRRLRR$, correspondant aux tableaux complétés et , sont isotopes.

Exemple 4.20. Comme dernière illustration, considérons les nœuds associés à des matrices de trace 40. L'ordre associé est $\mathbb{Z}[-20+3\sqrt{11}]$. Un logiciel de calcul algébrique, comme par exemple PARI/GP [9], fournit la structure du groupe des classes associé, ici $\mathbb{Z}/2\mathbb{Z}\times\mathbb{Z}/4\mathbb{Z}$, et des représentants des classes associées à chaque élément. En termes de matrices, les huit éléments du groupe des classes d'idéaux de l'ordre $\mathbb{Z}[-20+3\sqrt{11}]$ sont les suivants.

$G=\mathbb{Z}/2\mathbb{Z}\times\mathbb{Z}/4\mathbb{Z}$	$(\cdot,\bar{0})$	$(\cdot,\bar{1})$	$(\cdot,\bar{2})$	$(\cdot,\bar{3})$
$(\bar{0},\cdot)$	$X^{38}Y$	$X^3Y^3X^2Y$	$XYXY^{12}$	$X^3YX^2Y^3$
$(\bar{1},\cdot)$	$X^{19}Y^2$	X^2Y^7XY	X^5YX^4Y	X^2YXY^7

Traduit en termes de nœuds de Lorenz via la correspondance de Ghys, ce tableau devient :

$G=\mathbb{Z}/2\mathbb{Z}\times\mathbb{Z}/4\mathbb{Z}$	$(\cdot,\bar{0})$	$(\cdot,\bar{1})$	$(\cdot,\bar{2})$	$(\cdot,\bar{3})$
$(\bar{0},\cdot)$				
$(\bar{1},\cdot)$				

On peut y voir illustrés les résultats des théorèmes 4.18 et 4.19. D'abord, comme 40 admet deux diviseurs premiers distincts, les nœuds triviaux forment un sous-groupe isomorphe à $\mathbb{Z}/2\mathbb{Z}$, qui correspond à la colonne $(\cdot,\bar{0})$ du tableau. Par ailleurs, les colonnes $(\cdot,\bar{1})$ et $(\cdot,\bar{3})$ correspondent à des éléments opposés dans le groupe, et on voit que, sur chaque ligne, les nœuds correspondants sont en effet les mêmes.

5. Quelques questions ouvertes

Nous terminerons ce tour d'horizon des nœuds de Lorenz par quelques-unes des multiples questions ouvertes les concernant.

[9] `http://pari.math.u-bordeaux.fr/`

5.1. **Codage par les mots de Lyndon et les diagrammes de Young.** On a vu dans la section 1 comment tous les nœuds de Lorenz peuvent être codés par des mots de Lyndon, ou, de façon presque équivalente, par des diagrammes de Young. Ces codages ne sont pas injectifs : même minimaux, deux mots de Lyndon distincts peuvent coder le même nœud de Lorenz et, de même, deux diagrammes de Young (non complétés) distincts peuvent coder le même nœud de Lorenz. Reconnaître quand deux mots de Lyndon, ou deux diagrammes de Young, codent le même nœud de Lorenz est une question pour le moment difficile. On a vu dans le corollaire 2.21 que le genre du nœud détermine le nombre de cases du diagramme de Young, mais bien sûr pas le diagramme complet. Par exemple, on vérifie facilement que la tresse de Birman-Williams associée au deux diagrammes de Young $[3, 3, 2]$ et $[4, 4]$ est la même, et donc les nœuds de Lorenz associés coïncident.

Question 5.1. Existe-t-il un algorithme permettant de déterminer quand deux diagrammes de Young codent le même nœud de Lorenz ?

Une première étape pourrait consister à démontrer la propriété suivante, qui a été vérifiée sur un grand nombre d'exemples.

Conjecture 5.2. Soit b et b' deux tresses de Birman-Williams associées à deux orbites périodiques isotopes du flot de Lorenz. Alors b et b' sont conjuguées dans B_t, où t est le pas commun de ces orbites.

5.2. **Nœuds satellites.** Avec le théorème 2.9, on a obtenu une description complète de ceux des nœuds de Lorenz qui sont satellites d'un nœud de Lorenz. Par contre, on n'a pas de caractérisation générale de tous les nœuds de Lorenz qui sont des nœuds satellites. Il semblerait en fait que seule la situation du théorème 2.9 soit possible.

Conjecture 5.3 (H. Morton, communication personnelle)**.** Tout nœud de Lorenz qui est un nœud satellite est satellite d'un nœud torique sur un nœud de Lorenz, selon le schéma de la proposition 2.6.

Un important résultat de W. Thurston [33] montre que tout nœud qui n'est ni torique, ni satellite est hyperbolique. Notons qu'une solution positive à la conjecture 5.3 permettrait de déterminer précisément quels nœuds de Lorenz sont des nœuds satellites, et, de là, par complément, quels nœuds de Lorenz sont hyperboliques.

Dans la lignée de la question 5.1, il est également naturel de chercher à reconnaître le type d'un nœud de Lorenz à partir d'un diagramme de Young le codant.

Question 5.4. Existe-t-il un algorithme qui, à partir d'un diagramme de Young codant un nœud de Lorenz K, détermine le type du nœud torique associé si K est torique, et la suite des cablâges successifs si K est satellite ?

5.3. **Invariants polynomiaux et volume hyperbolique.** Il semble que les polynômes d'Alexander ou de Jones des nœuds de Lorenz soient particulièrement simples. Les simulations numériques de [10] montrent que les coefficients du polynôme d'Alexander d'un nœud de Lorenz donné comme clôture d'une tresse, tout comme ceux de leurs polynômes de Jones, sont très petits comparés à ceux de la clôture d'une tresse aléatoire de même taille.

Question 5.5. La petitesse observée des coefficients des polynômes d'Alexander, de Jones, et HOMFLY associés aux nœuds de Lorenz est-elle un phénomène général, et peut-on l'expliquer ? Comment se répartissent les racines des polynômes d'Alexander et de Jones dans de plan complexe ?

Dans [3], J. Birman et I. Kofman ont calculé les volumes hyperboliques des complémentaires d'un certain nombre de nœuds de Lorenz hyperboliques. Comme dans le cas des coefficients des invariants polynomiaux, il apparaît que ce volume prend des valeurs étonnamment petites.

Question 5.6. Peut-on borner supérieurement le volume hyperbolique des nœuds de Lorenz qui sont hyperboliques en fonction de la taille d'une tresse de Birman–Williams les représentant ?

Par ailleurs, il se trouve que, parmi les cent nœuds hyperboliques de plus petit volume, plus de la moitié sont des nœuds de Lorenz. Une explication de cette observation étonnante serait bienvenue.

5.4. **Correspondance de Ghys et nœuds modulaires.** Le lien entre les nœuds de Lorenz et l'arithmétique par le biais du groupe des classes d'idéaux associé à un ordre sur un corps quadratique est fascinant, mais encore très incomplètement compris. Les propositions 4.18 et 4.19 semblent n'être que les parties émergées d'un analogue du groupe des classes qui serait défini sur les nœuds modulaires, donc, de façon équivalente, sur les nœuds de Lorenz.

Question 5.7. Peut-on définir directement au niveau des nœuds modulaires, ou des nœuds de Lorenz, une multiplication (dépendant de α) qui induise la structure de groupe associée sur les nœuds correspondant au groupe de classes d'idéaux de $\mathbb{Z}[\alpha]$?

Références

1. J. W. Alexander, *A lemma on systems of knotted curves*, Proc. Amer. Sci. U. S. A., **9** (1923) 93–95.
2. R. Bedient, *Classifying 3-trip Lorenz knots*, Topology Appl., **20** (1985) 89–96.
3. J. S. Birman, I. Kofman, *A new twist on Lorenz knots*, `arXiv:0707.4331v3 [math.GT]`.
4. J. S. Birman, R. F. Williams, *Knotted periodic orbits in dynamical systems–I : Lorenz's Equations*, Topology, **22** (1) (1983) 47–82.
5. G. Burde, H. Zieschang, *Knots*, de Gruyter Studies in Mathematics 5, Walter de Gruyter & Co, 1985.
6. H. Cohen, *A Course in computational algebraic number theory*, GTM 138, Springer Verlag, 1993.
7. H. Cohn, *A classical invitation to algebraic numbers and class fields*, Universitext, Springer Verlag, 1978.
8. H. Cohn, *Advanced number theory*, Dover Publications, 1980.
9. Pi. Dehornoy, *Atlas of Lorenz knots*, `http://www.eleves.ens.fr/home/dehornoy/atlaslorenz.txt`
10. Pi. Dehornoy, *Nœuds de Lorenz*, Mémoire de M2R, `http://www.eleves.ens.fr/home/dehornoy/maths/Lorenz4.pdf`
11. D. Eisenbud, W. Neuman, *Three-dimensional link theory and invariants of plane curve singularities*, Ann. Math. Studies 110, Princeton University Press, 1985.
12. E. A. El Rifai, *Positive braids and Lorenz links*, PhD. Thesis, Univ. Liverpool, 1988.
13. E. A. El Rifai, *Necessary and sufficient condition for Lorenz knots to be closed under satellite construction*, Chaos, Solitons and Fractals, **10** (1) (1999) 137–146.
14. J. Franks, R. F. Williams, *Braids and the Jones polynomial*, Trans. Amer. Math. Soc., **303** (1) (1987) 97–108.
15. D. Gabai, *The Murasugi sum is a natural geometric operation*, Cont. Math., **20** (1983) 131–143.
16. D. Gabai, *Detecting fibred links in $\mathbb{S}^3$*, Comment. Math. Helv., **61** (1986) 519–555.
17. A. Garside, *The braid group and other groups*, Quart. J. Math. Oxford, **20** (1969) 235–254.
18. R. W. Ghrist, Ph. J. Holmes, M. C. Sullivan, *Knots and links in three-dimensional flows*, Lect. Notes Math. 1654, Springer Verlag, 1997.
19. É. Ghys, *Knots and dynamics*, Proc. of the International Congress of Mathematicians, **I**, Madrid, 2006.
20. É. Ghys, J. Leys, *Lorenz and modular flow : a visual introduction*, Feature Column Amer. Math. Soc., (2006).
21. J. Guckenheimer, *A Strange, Strange Attractor*, The Hopf Bifurcation Theorem and its Applications, Springer-Verlag (1976) 368–381.
22. R. Guckenheimer, R. F. Williams, *Structural stability of Lorenz attractors*, Publ. Math. IHES, **50** (1979) 59–72
23. J. Hadamard, *Les surfaces à courbures opposées et leurs lignes géodésiques*, J. Math. Pures Appl., **4** (1898) 27–74
24. W. B. R. Lickorish, *An introduction to knot theory*, GTM 175, Springer Verlag, 1997.
25. E. N. Lorenz, *Deterministic nonperiodic flow*, J. Atmospheric Sci., **20** (1963) 130–141.
26. J. Milnor, *Singular points of complex hypersurfaces*, Ann. Math. Studies 61, Princeton University Press (1965).

27. K. Murasugi, *On a certain subgroup of the group of an alternating link*, Amer. J. Math., **85** (1963) 544–550.

28. F. Dal'Bo, F. Paulin, G. Courtois , *Sur la dynamique des groupes de matrices et applications arithmétiques*, Journées mathématiques X-UPS 2007.

29. D. Rolfsen, *Knots and links*, Publish or Perish, 1976.

30. J.-P. Serre, *Cours d'arithmétique*, Presses universitaires de France, 1970.

31. C. Sparrow, *The Lorenz equations : bifurcation, chaos and strange attractors*, Applied Mathematical Science 41, Springer Verlag, 1982.

32. J. Stallings, *Constructions of fibered knots and links*, Symp. in Pure math. Am. Math. Soc. Part 2, (1978) 55–59.

33. W. Thurston, *The geometry and topology of 3-manifolds*, Princeton lecture notes (1978-1981).

34. W. Tucker, *The Lorenz attractor exists*, PhD. Thesis, Univ. Uppsala, 1998.

35. W. Tucker, *The Lorenz attractor exists*, C. R. Acad. Sci. Paris, **328** (1) (1999) 1917–1202.

36. R. F. Williams, *The structure of Lorenz attractors*, Publ. Math. IHES, **50** (1979) 73–99.

37. R. F. Williams, *Lorenz Knots are Prime*, Ergod. Th. Dynam. Sys., **4** (1983) 147–163.

Unité de mathématiques pures et appliquées, École normale supérieure de Lyon, 46 allée d'Italie, 69364 Lyon Cedex 07, France. pierre.dehornoy@umpa.ens-lyon.fr